

중성자별의 내부 구조 및 상태방정식

기본 원리

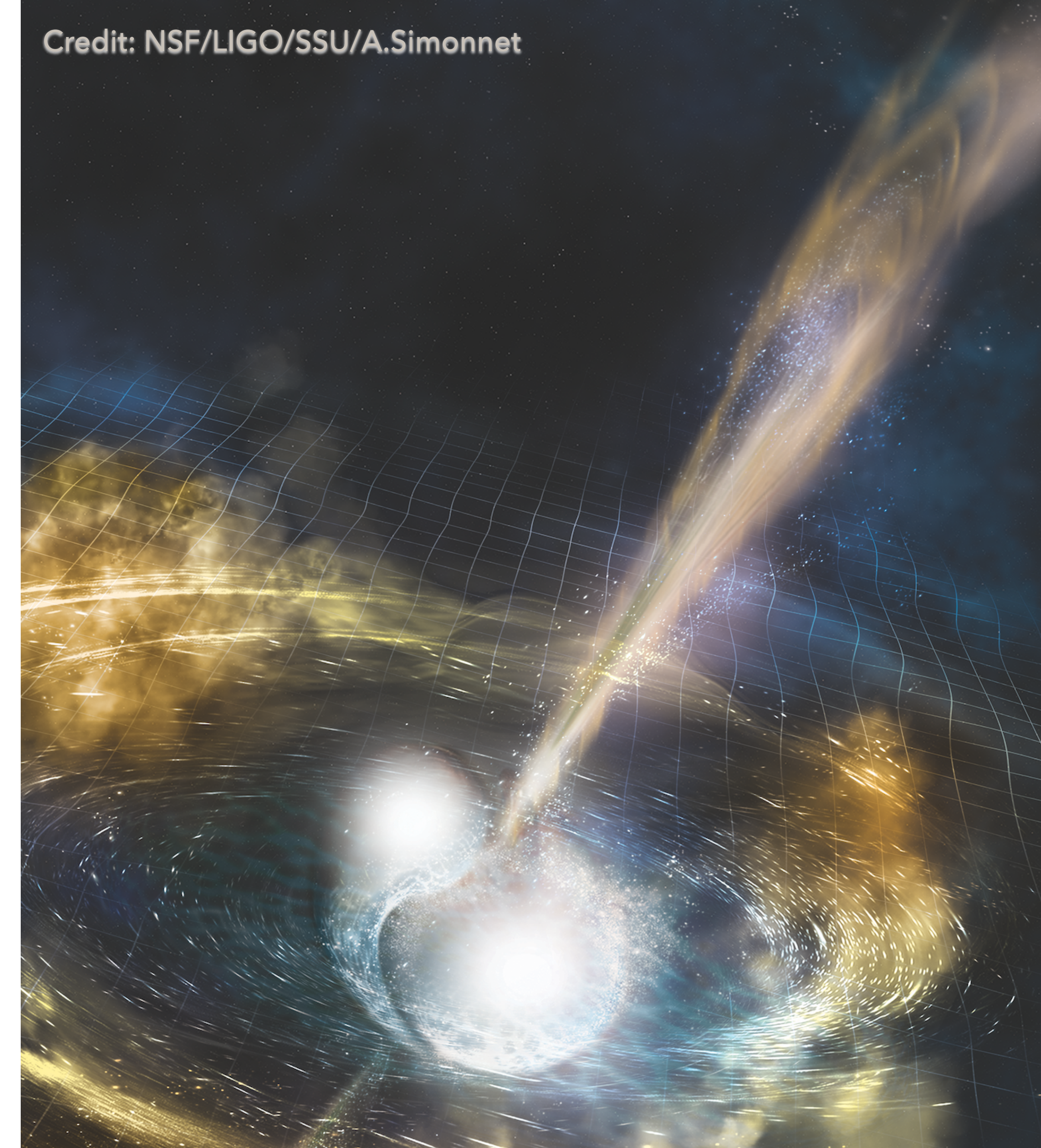
이창환 / 부산대학교 물리학과

Contents

- 중성자별이란
- 별의 운명 - 열역학법칙
- 백색왜성의 구조
- 중성자별의 구조
- 블랙홀과 괴델이 준 충격

2017년 10월 3일
노벨물리학상 수상자 발표

2017년 10월 17일
중성자별 충돌에 의한 중력파/전자기파
GW170817



중성자별/펄서

질량 ~ 태양의 2배 (지구의 67만 배)

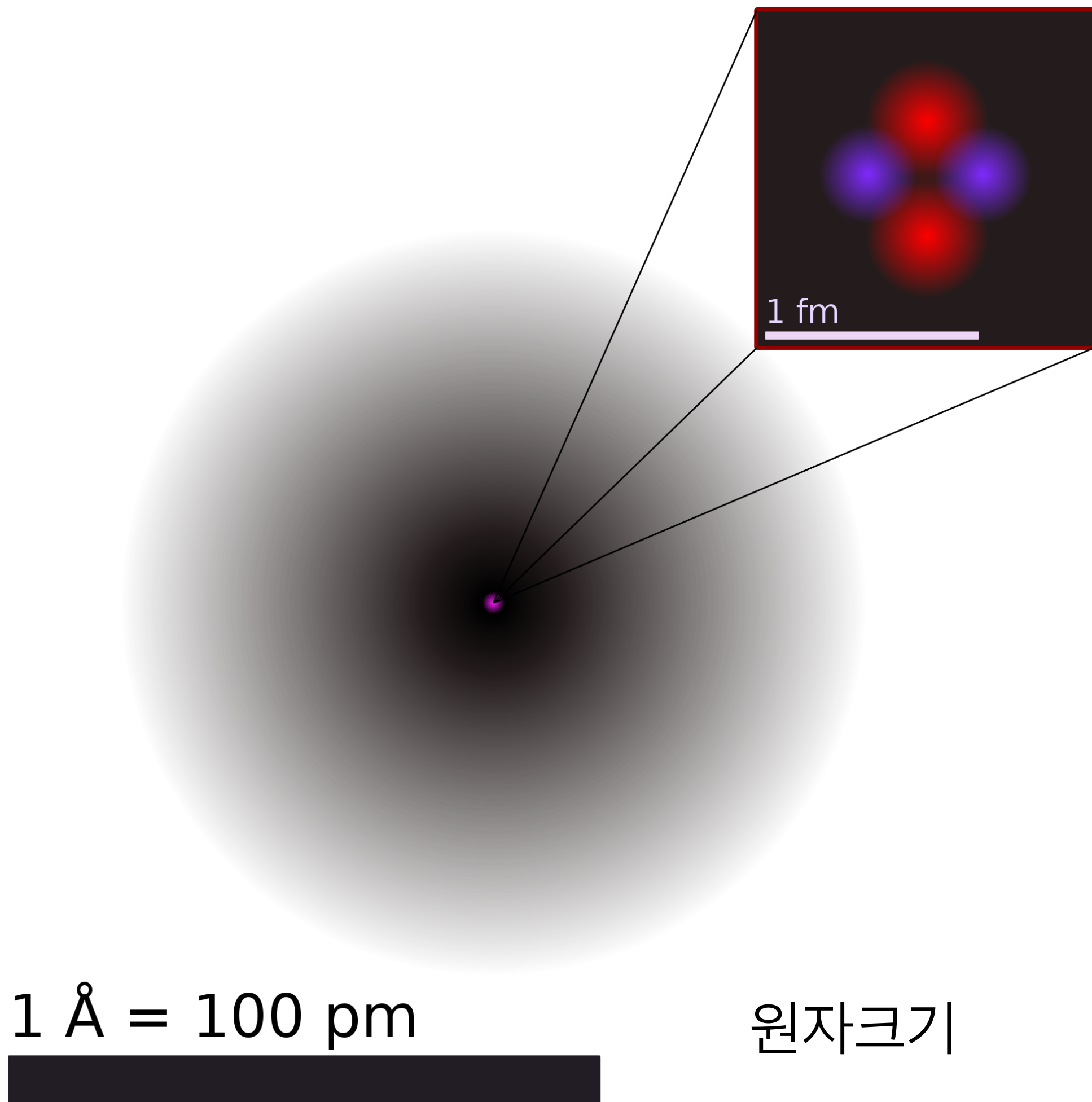
반경 ~ 15 km

밀도 ~ 부산의 전체 건물을

각설탕 크기로 압축한 밀도



중성자 (Chadwick, 1932)



원자크기

10^{-10} m

양성자/중성자 크기

10^{-15} m

Why Neutron Star (중성자별) ?

태양반경 : 696,340 km

Ultimate testing place for physics of dense matter

$$M = 1.5 \sim 2.0 M_{\odot}$$

$$R = 10 \sim 15 \text{ km}$$

$$A \sim 10^{57} \text{ nucleons}$$

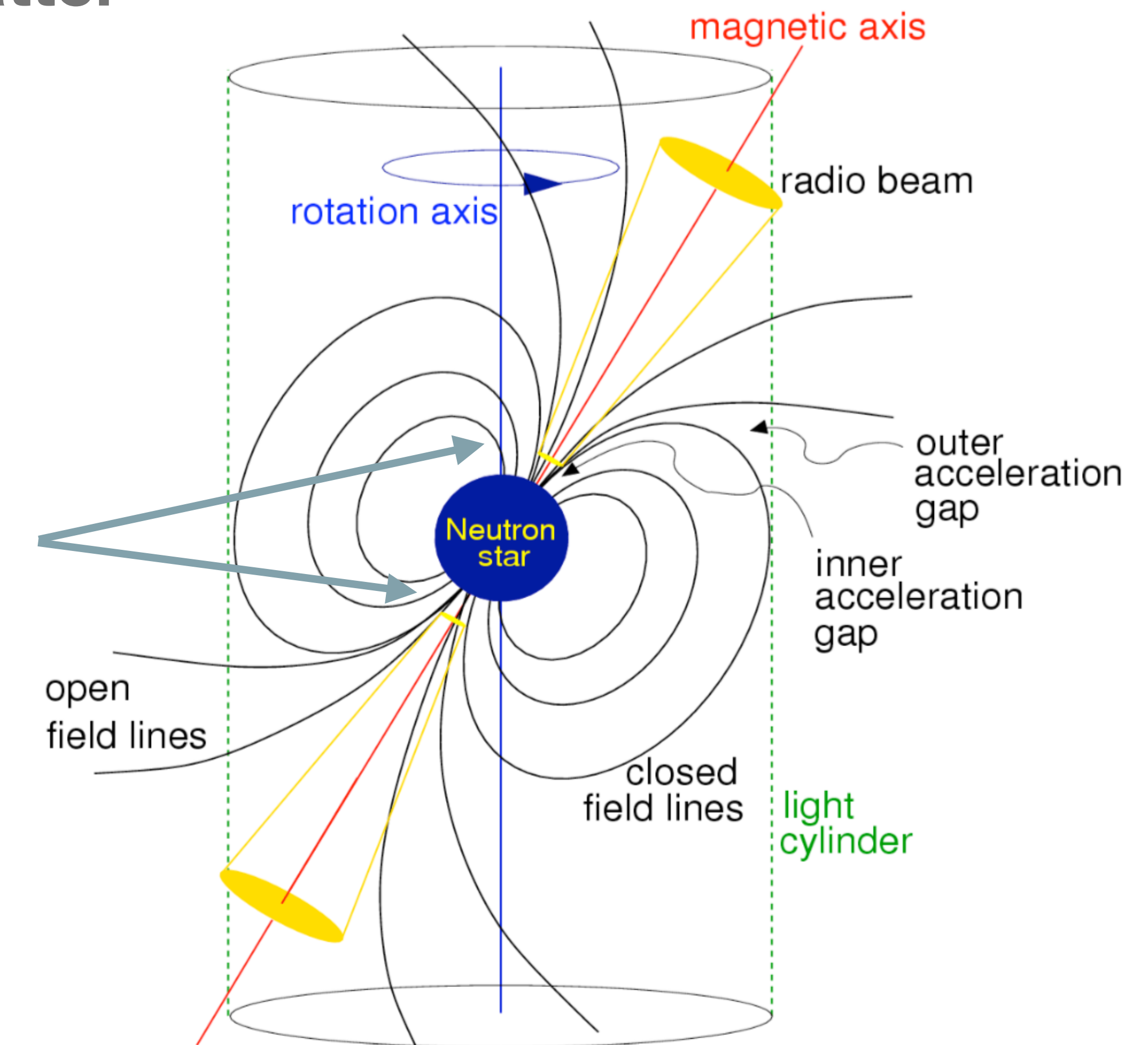
$$\rho_{\text{center}} \approx \text{several} \times \rho_0$$

$$n_0 \approx 0.16 \text{ fm}^{-3}$$

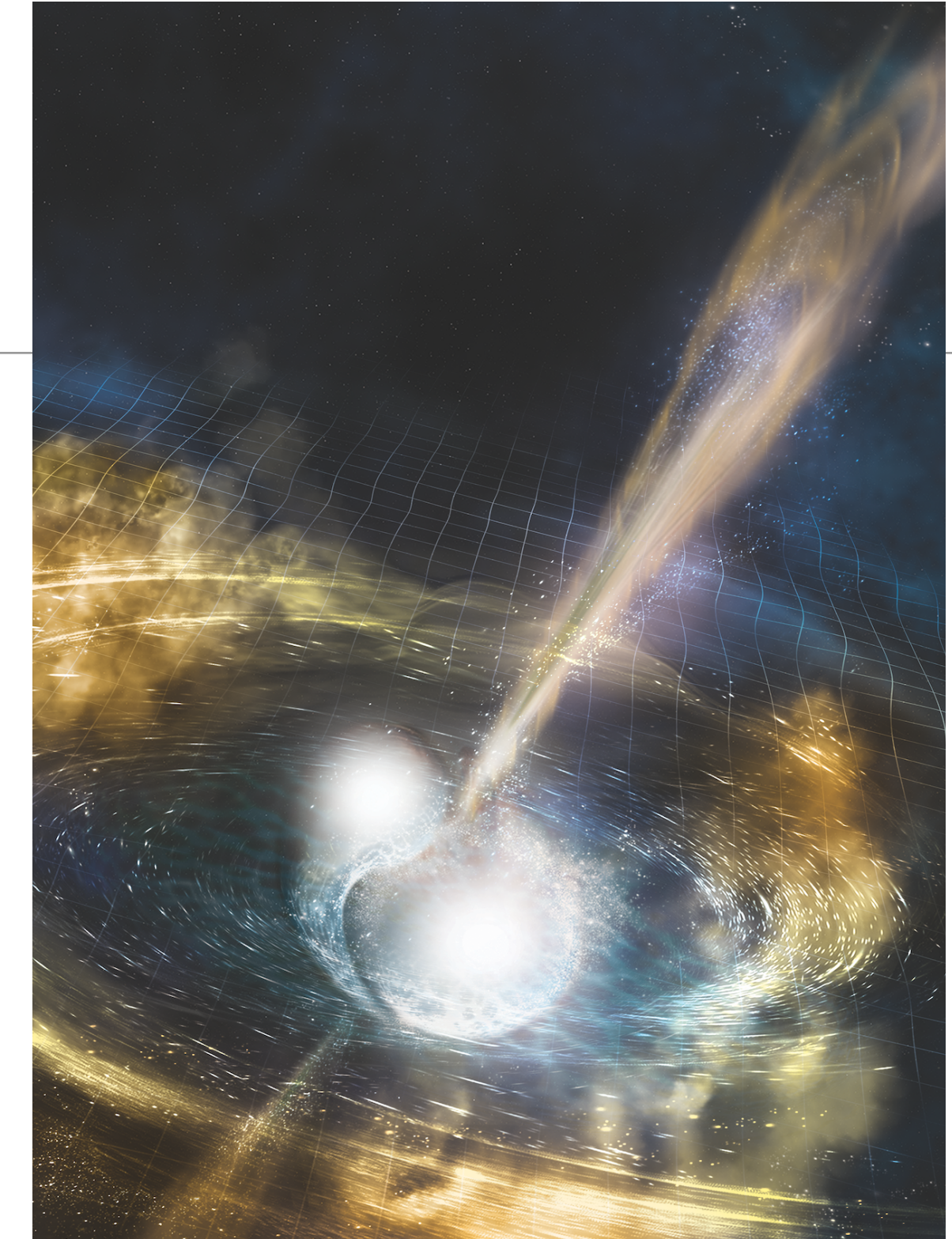
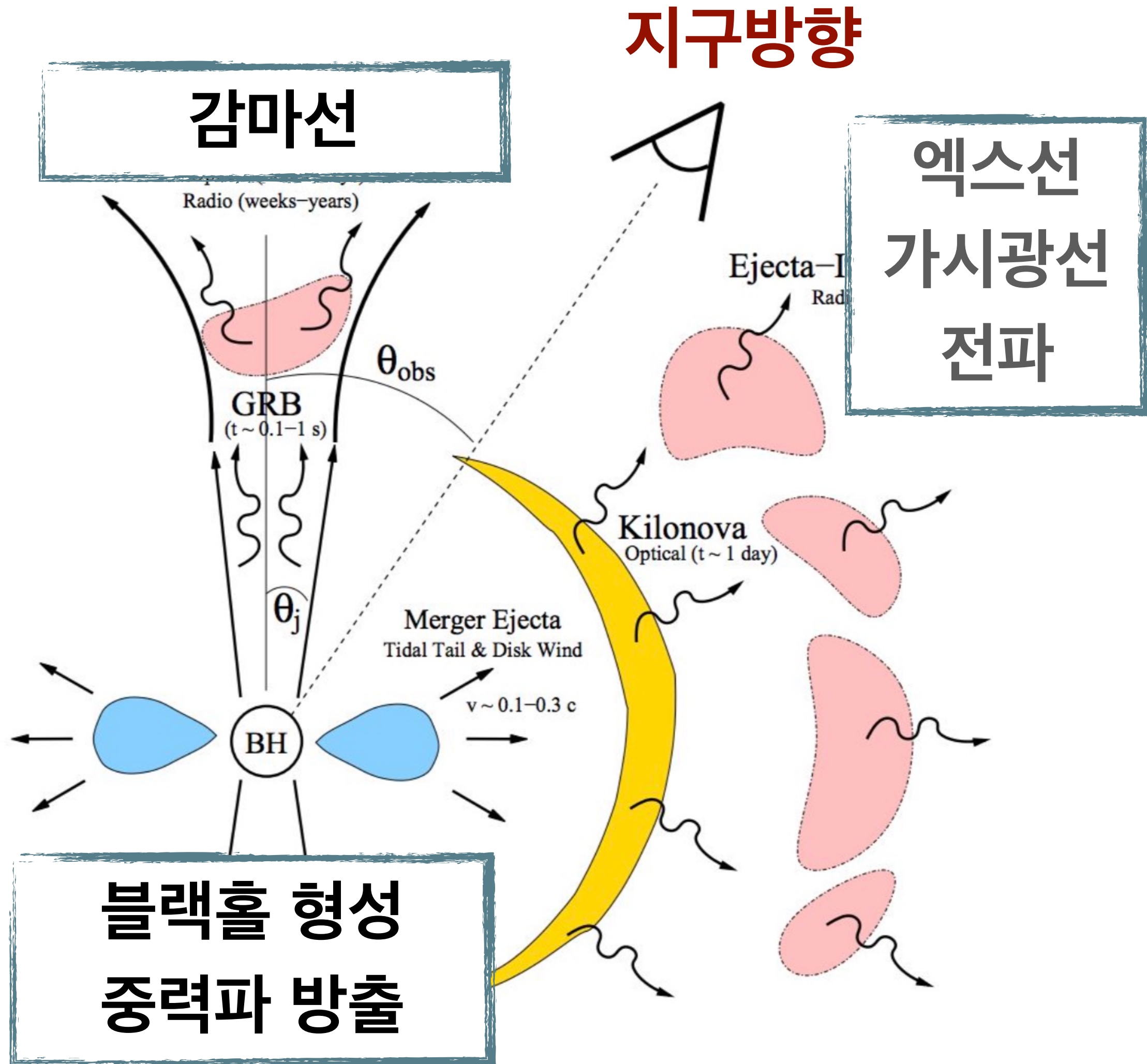
$$\approx 1.6 \times 10^{44} \text{ m}^{-3}$$

$$\rho_0 \approx 2.04 \times 10^{17} \text{ kg} \cdot \text{m}^{-3}$$

e^+e^- pair creation

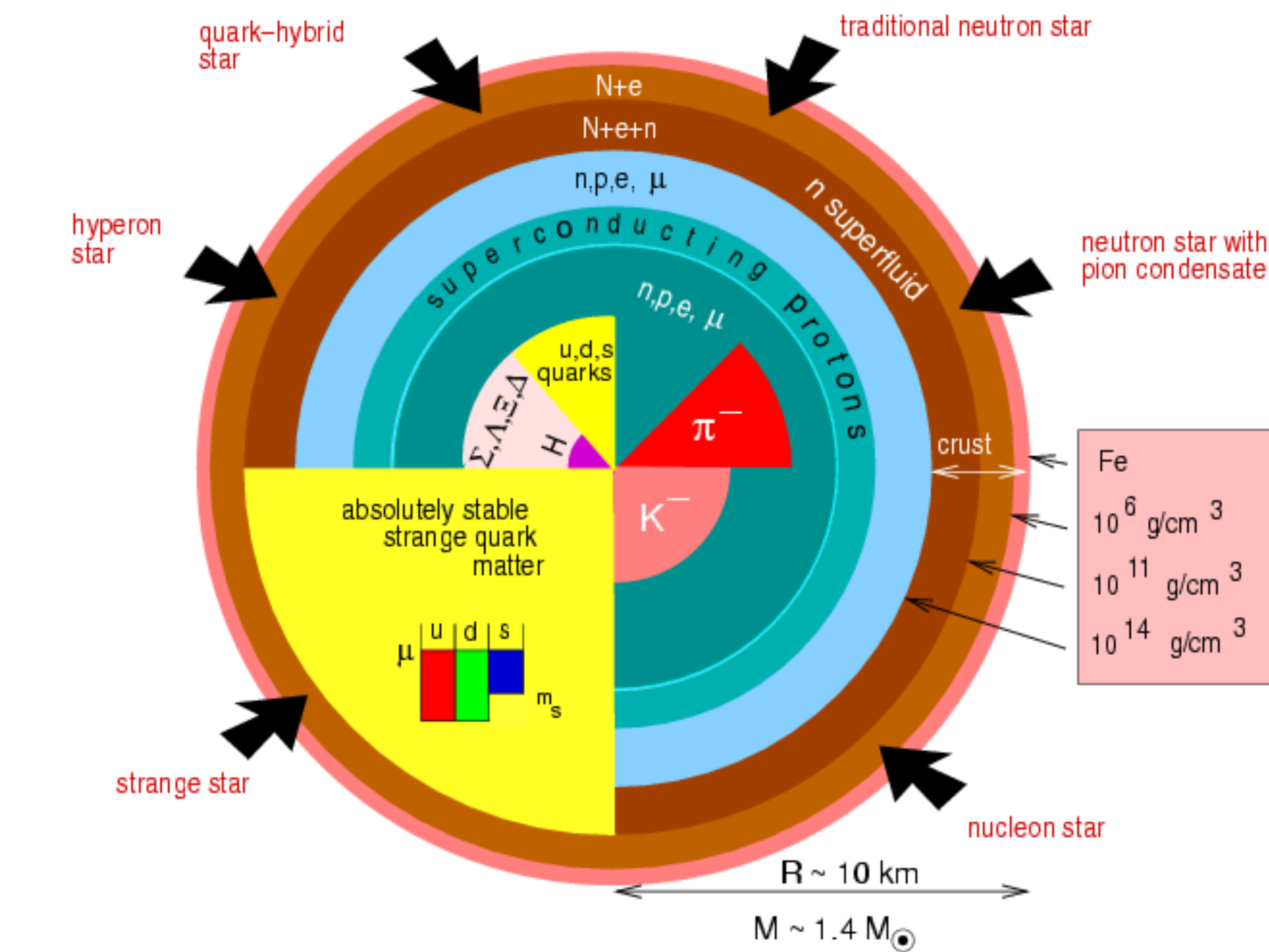


중성자별 충돌 모형도



Nuclear matter is not an ideal gas

F. Weber 2005



별의 운명

Pressure

$$n = N/V$$

number density

Radiation pressure of photon & neutrino (빛과 중성미자)

$$P_{\text{rad}} = \frac{1}{3}aT^4$$

Thermal (kinetic) pressure of ideal gas (입자들의 운동)

$$P_{\text{kin}} = \cancel{n}kT \quad (PV = NkT)$$

Quantum degeneracy pressure of ideal gas (양자 겹침 압력)

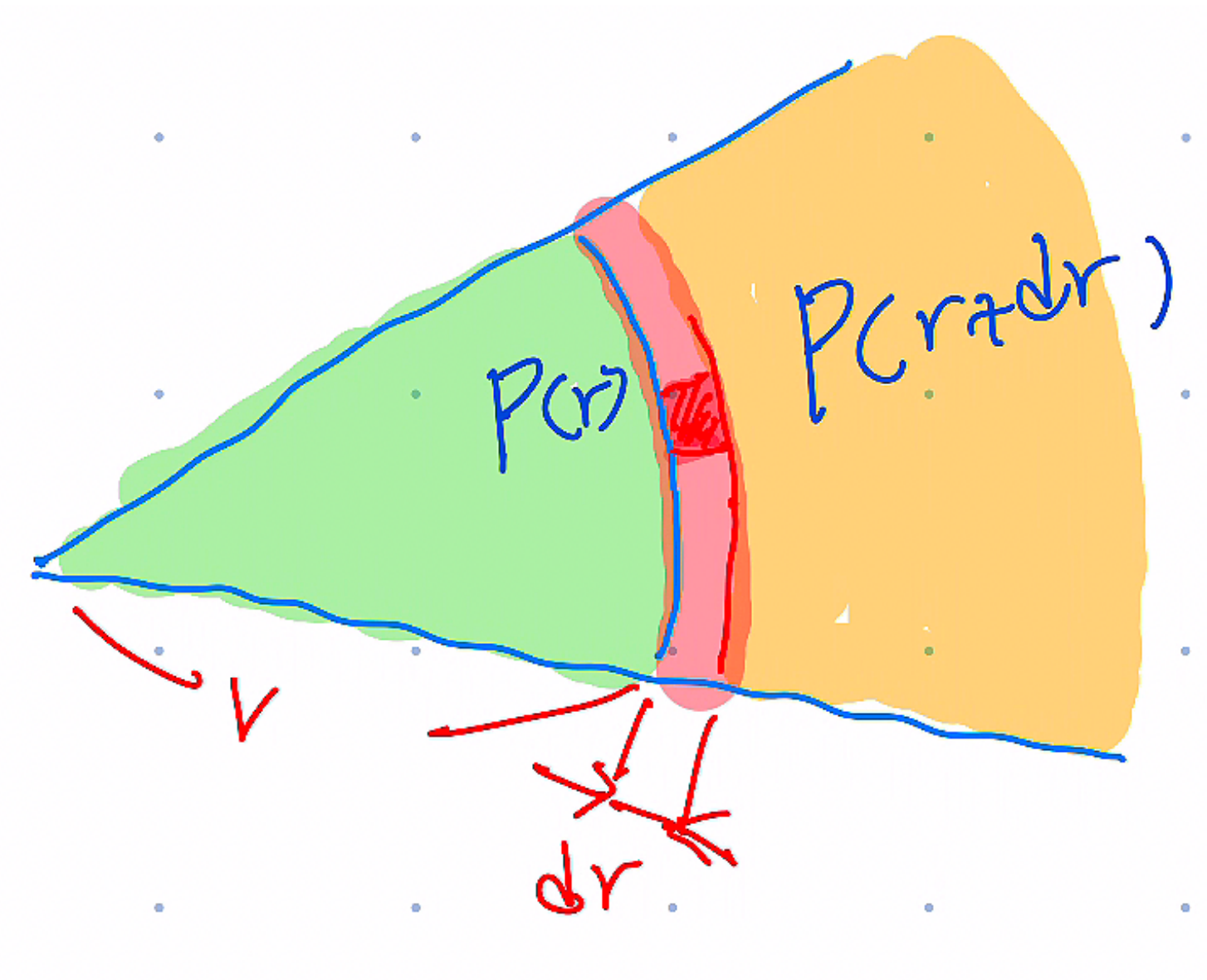
$$P_{\text{deg}} = ? \quad (\text{Pauli exclusion})$$

Pressure from strong interactions (강상호작용에 의한 압력)

$$P_{\text{nuclear matter}} = ?$$

압력과 중력의 균형

$$\frac{dP(r)}{dr} = -\frac{GM(r)\rho(r)}{r^2}$$



밖으로 미는 힘의 크기

$$\propto -\frac{P(r+dr) - P(r)}{dr} \propto -\frac{dP}{dr}$$

안으로 당기는 중력 크기

$$\propto \frac{GM_S}{r^2}$$

$$-\frac{dP}{dr} = \frac{GM_S}{r^2}$$

Virial theorem

$$\frac{dP(r)}{dr} = -\frac{GM(r)\rho(r)}{r^2}$$

$$\int_0^R \frac{dP}{dr} 4\pi r^3 dr = \int_0^R \left(-\frac{GM}{r^2} \rho \right) 4\pi r^3 dr$$

$$\int_0^R \frac{dP}{dr} 4\pi r^3 dr = P \cdot \cancel{4\pi r^2} \Big|_0^R - \int_0^R 3P \cdot 4\pi r^2 dr$$

$$E_{\text{therm}} = \int_0^R \left(\frac{3}{2} nkT \right) 4\pi r^2 dr = \frac{1}{2} \int_0^R 3P \cdot 4\pi r^2 dr$$

$$-2E_{\text{therm}} = E_G$$

$$E_{\text{therm}} = -\frac{1}{2} E_G = \frac{1}{2} |E_G|$$

$$E_{\text{tot}} = E_G + E_{\text{therm}} = \frac{1}{2} E_G = -\frac{1}{2} |E_G| < 0$$

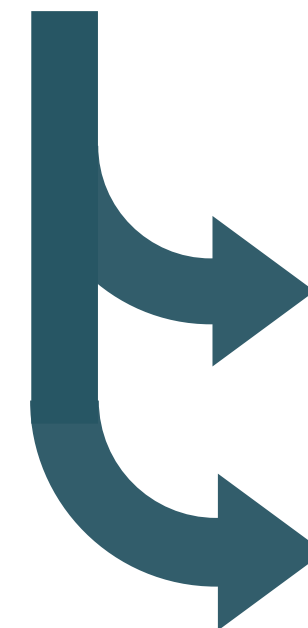
Virial theorem

$$E_{\text{therm}} = -\frac{1}{2}E_G = \frac{1}{2}|E_G|$$

$$E_{\text{tot}} = E_G + E_{\text{therm}} = \frac{1}{2}E_G = -\frac{1}{2}|E_G| < 0$$

- Star forms by slow gravitational contraction
- Total energy becomes more negative
 - T & density increase as star loses energy

Fate of stars



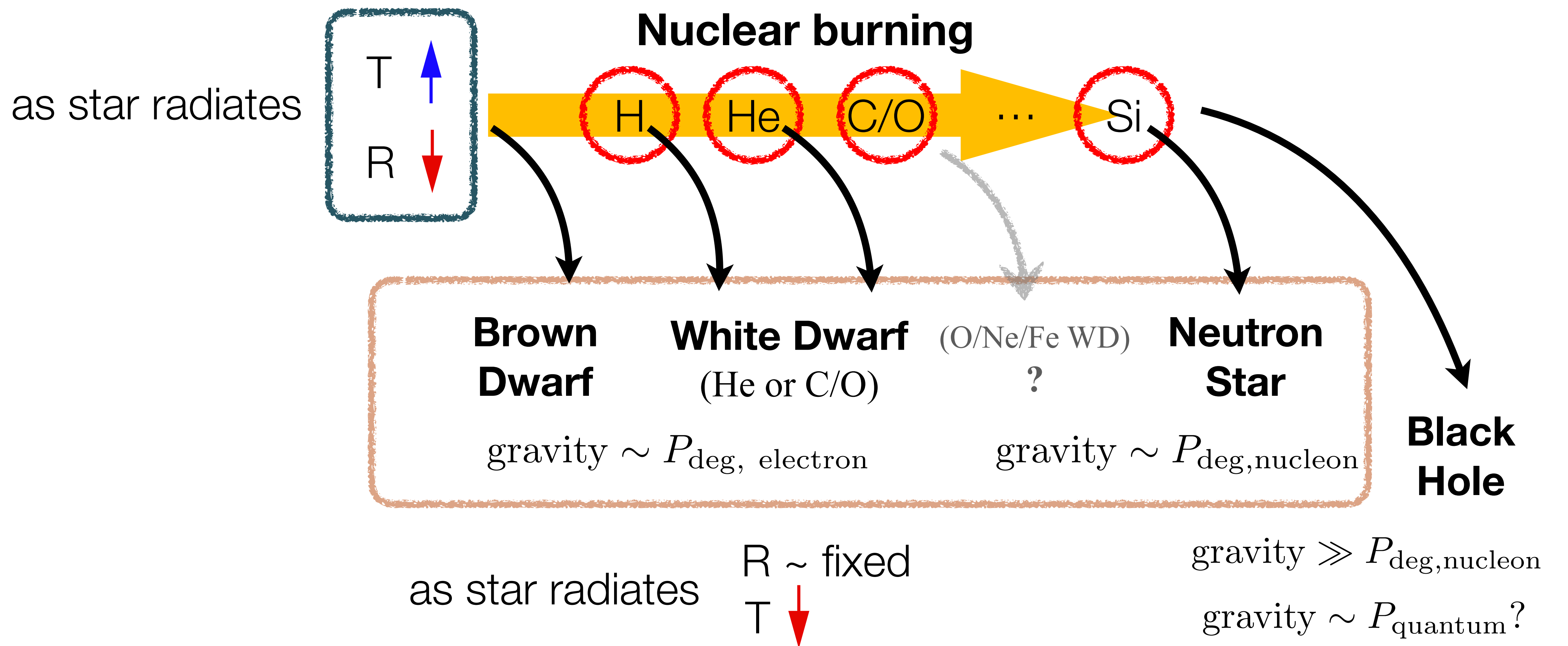
T_c

- start nuclear burning
- thermal pressure dominates

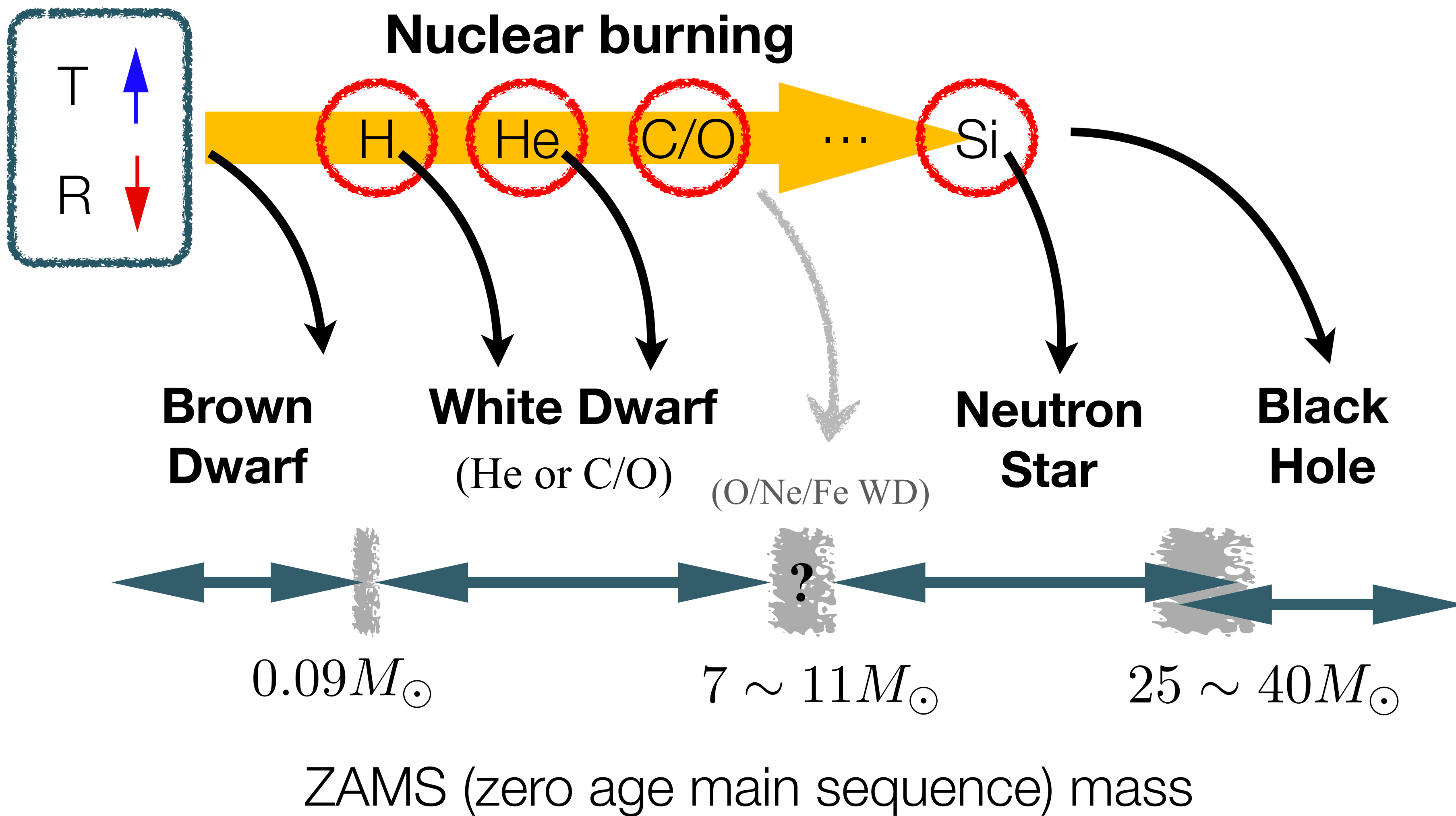
ρ_{quantum}

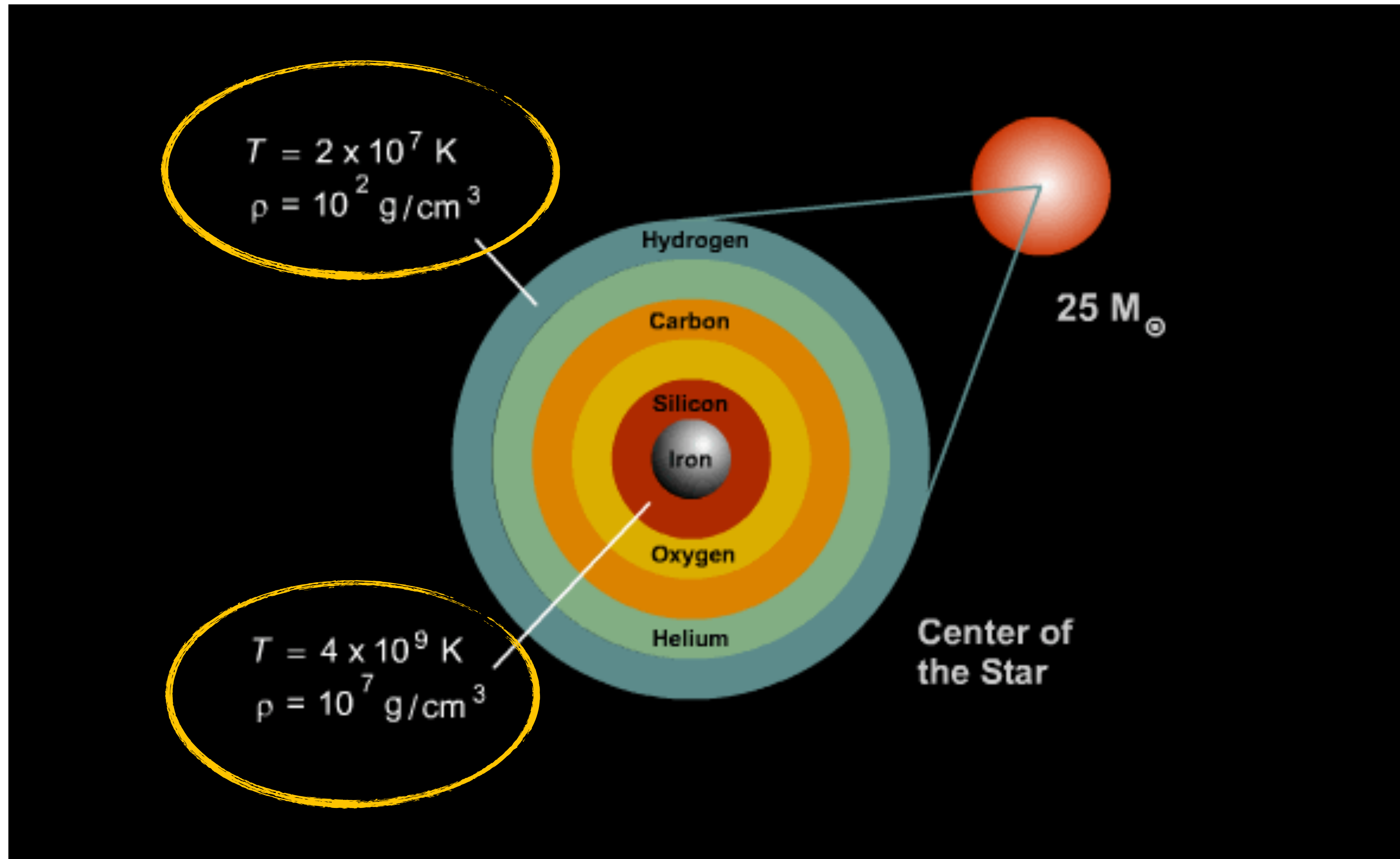
- reach quantum state
- degeneracy pressure dominates
- contraction stops and cools down

Evolution of star

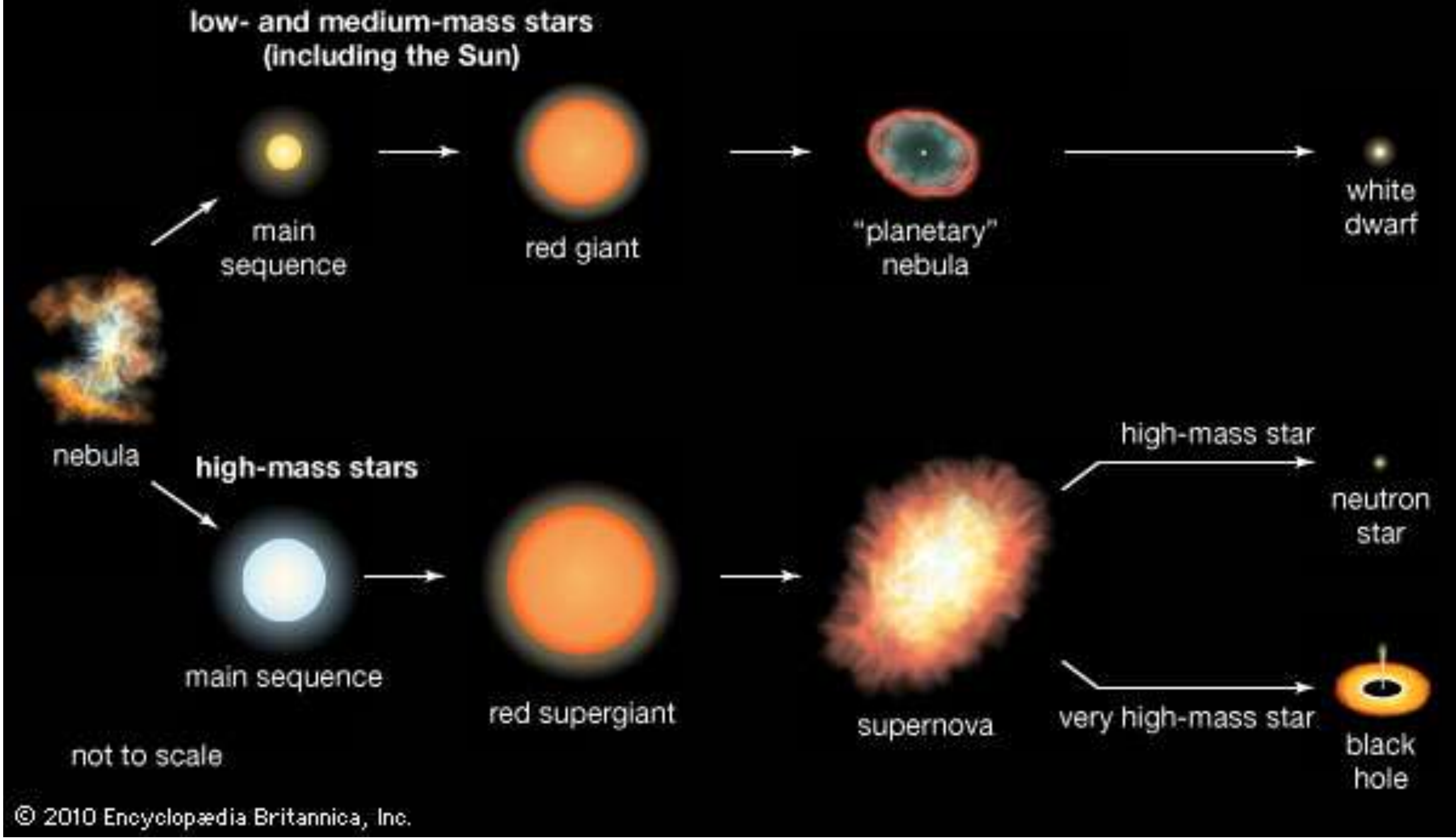


Initial mass of progenitor star (with solar metallicity)





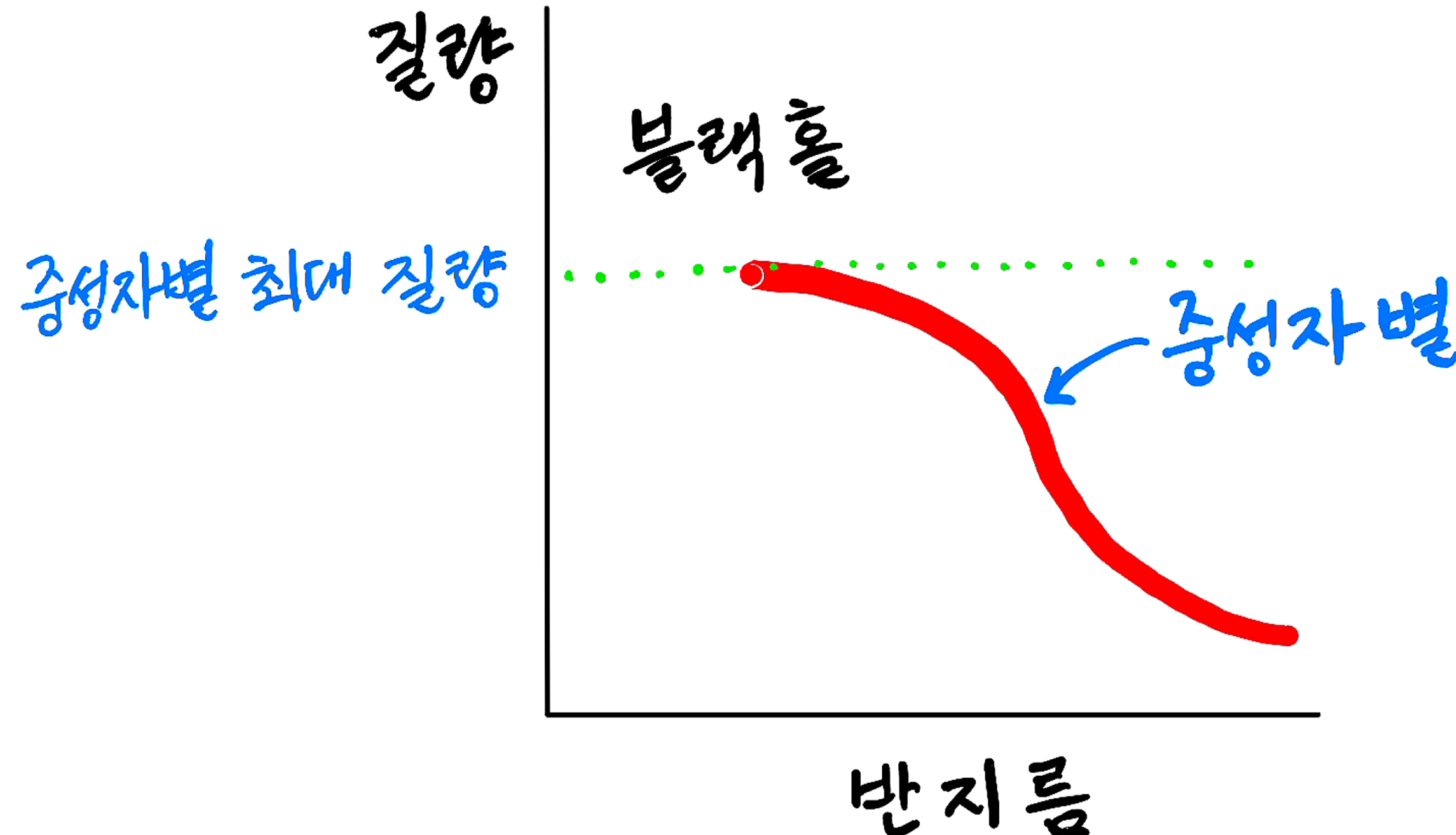
Stellar evolution



백색왜성의 구조

전자 겹침 압력

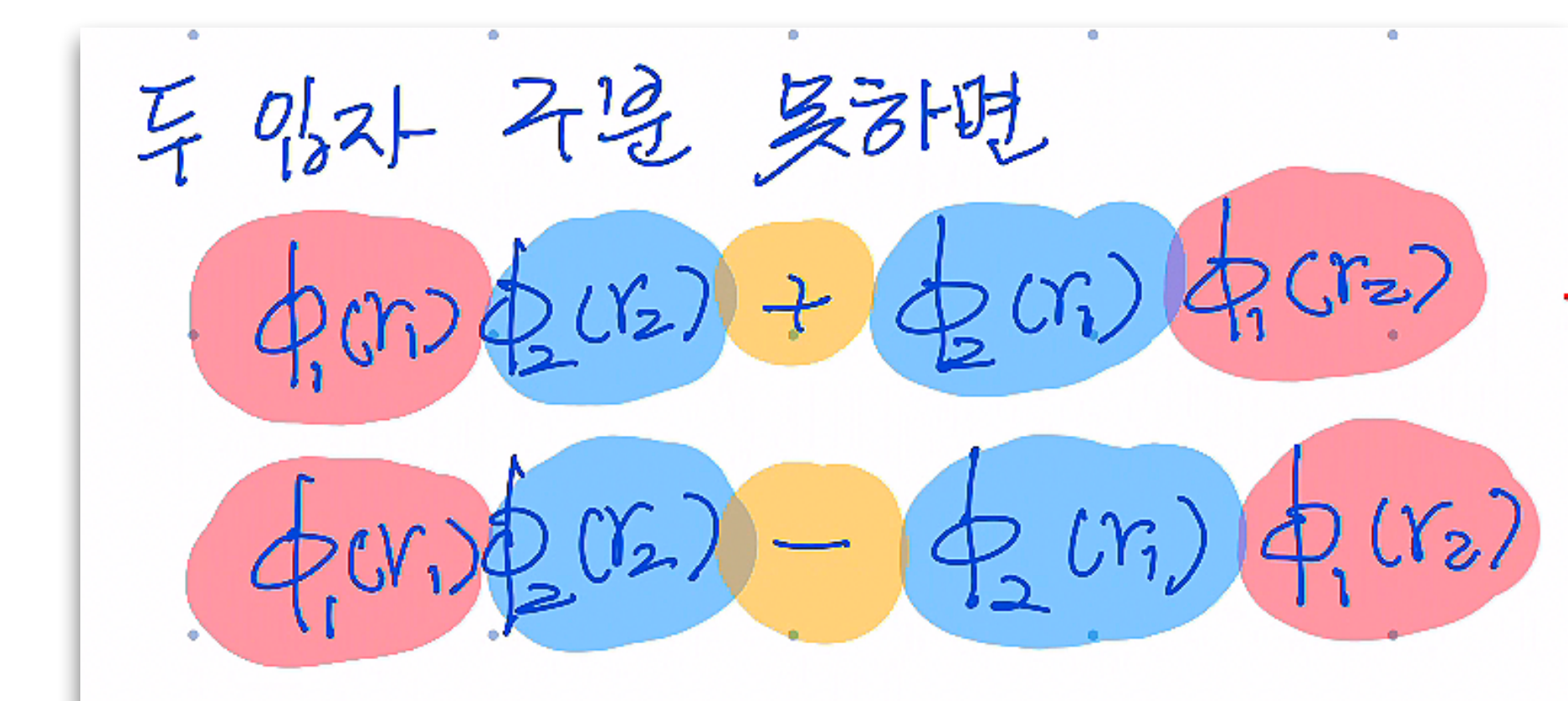
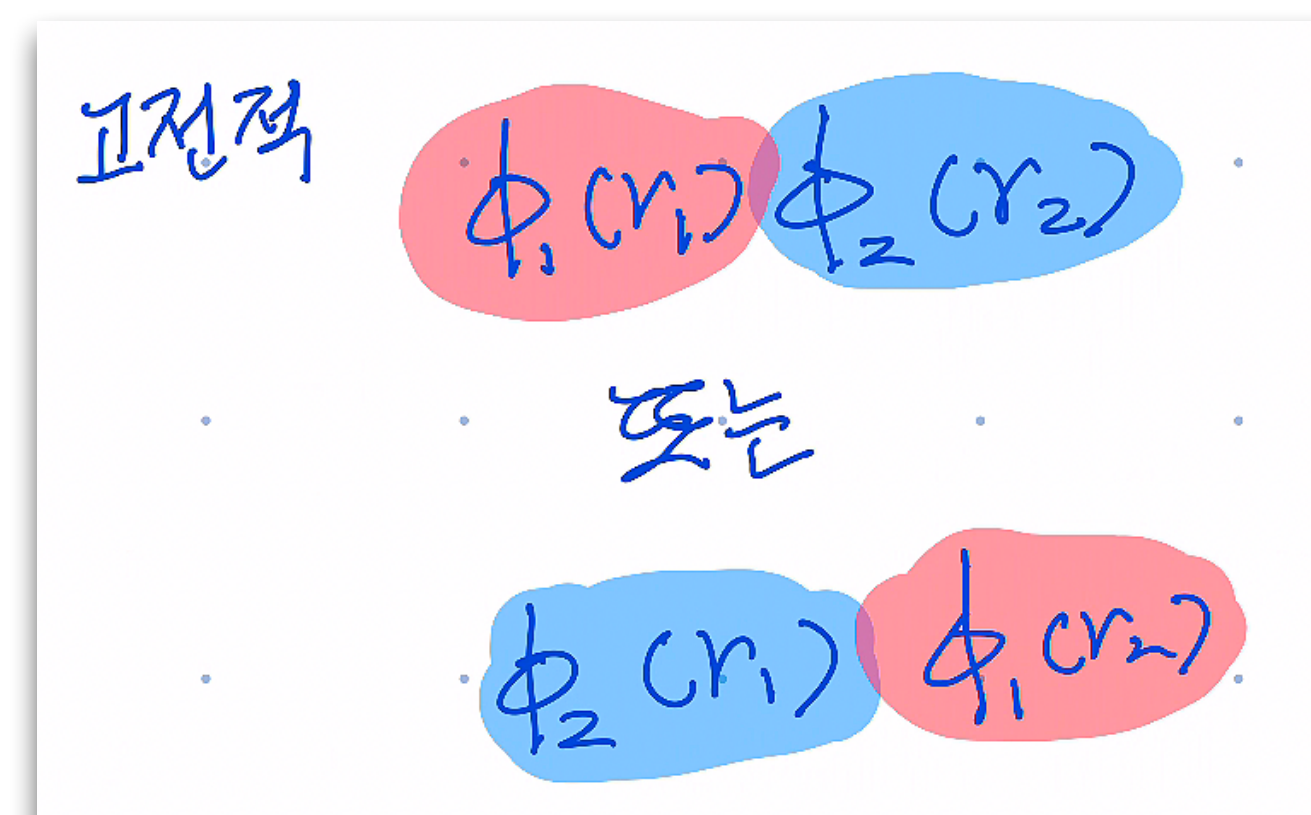
중성자별 최대 질량을 넘으면 블랙홀 외에는 대안이 없음 !!



중성자별은 질량이 증가할 수록 크기는 작아진다 (백색왜성도 같은 성질을 가짐)

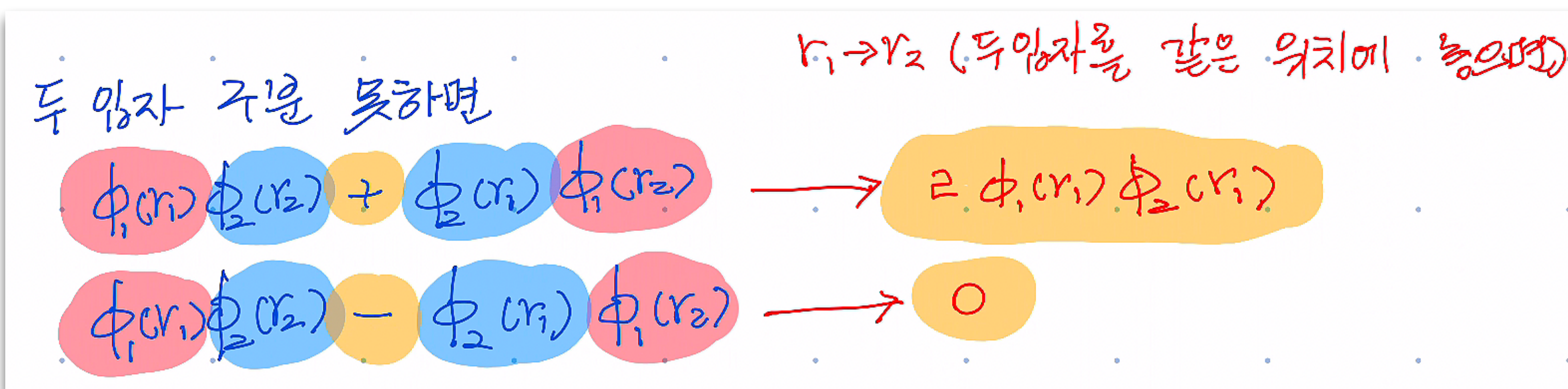
(양자) 겹침 압력 (죽퇴압력)

- 두 입자는 구분할 수 없다
- 전자, 양성자, 중성자는
 - 같은 장소에 같은 성질을 가진 두 입자가 들어갈 수 없다 (파울리 배타원리)



(양자) 겹침 압력 (죽퇴압력)

- 두 입자는 구분할 수 없다
- 전자, 양성자, 중성자는
 - 같은 장소에 같은 성질을 가진 두 입자가 들어갈 수 없다 (파울리 배타원리)
- 같은 장소에 두 개가 못 들어가면 서로 밀어내는 것과 같다
 - 양자 통계에 의한 척력의 출현



백색왜성의 특성 (보통의 백색왜성)

$$\rho_{\text{WD}} \sim 10^6 \text{ g/cm}^3$$

$$T_{\text{WD}} \sim 10^7 \text{ K}$$

Quantum degeneracy pressure dominates : *thermal pressure negligible*

$$\frac{dP(r)}{dr} = -\frac{GM(r)\rho(r)}{r^2}$$

$$P_{\text{deg}} \approx 3 \times 10^{22} \text{ dyne/cm}^2 \quad \text{겹침 압력}$$

$$P_{\text{th}} \approx 2 \times 10^{20} \text{ dyne/cm}^2 \quad \text{열압력}$$

Thermodynamics

*zero temperature limit
without nuclear burning*

Hydrostatic equilibrium

$$\frac{dP(r)}{dr} = -\frac{GM(r)\rho(r)}{r^2}$$

Mass continuity

$$\frac{dM(r)}{dr} = 4\pi r^2 \rho(r)$$

Radiative energy transport

$$\frac{dT(r)}{dr} = -\frac{3L(r)\kappa(r)\rho(r)}{4\pi r^2 4acT(r)^3}$$

Energy conservation

$$\frac{dL(r)}{dr} = 4\pi r^2 \rho(r)\epsilon(r)$$

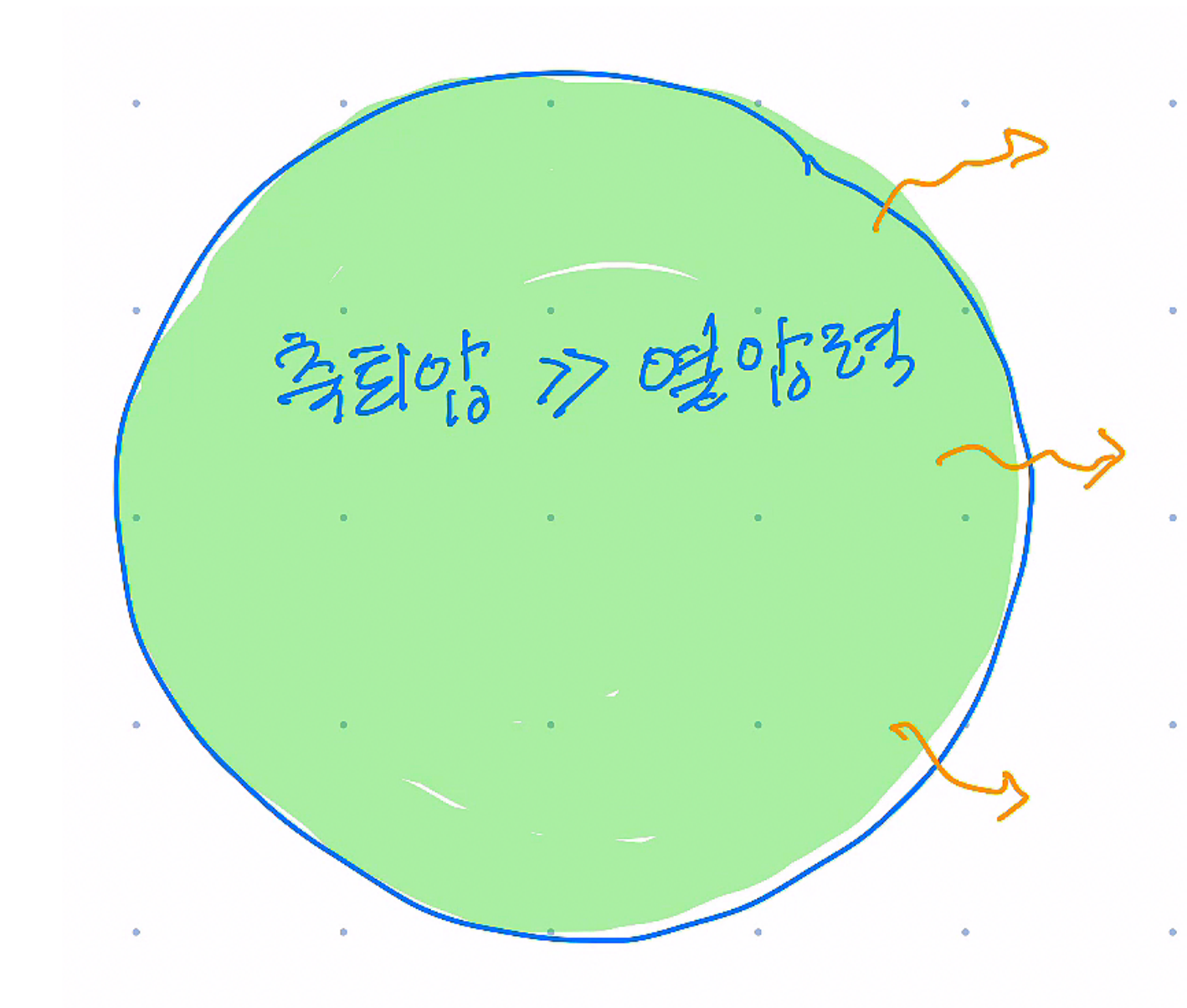
$$P = P(\rho, T, \text{composition})$$

$$\kappa = \kappa(\rho, T, \text{composition})$$

$$\epsilon = \epsilon(\rho, T, \text{composition})$$

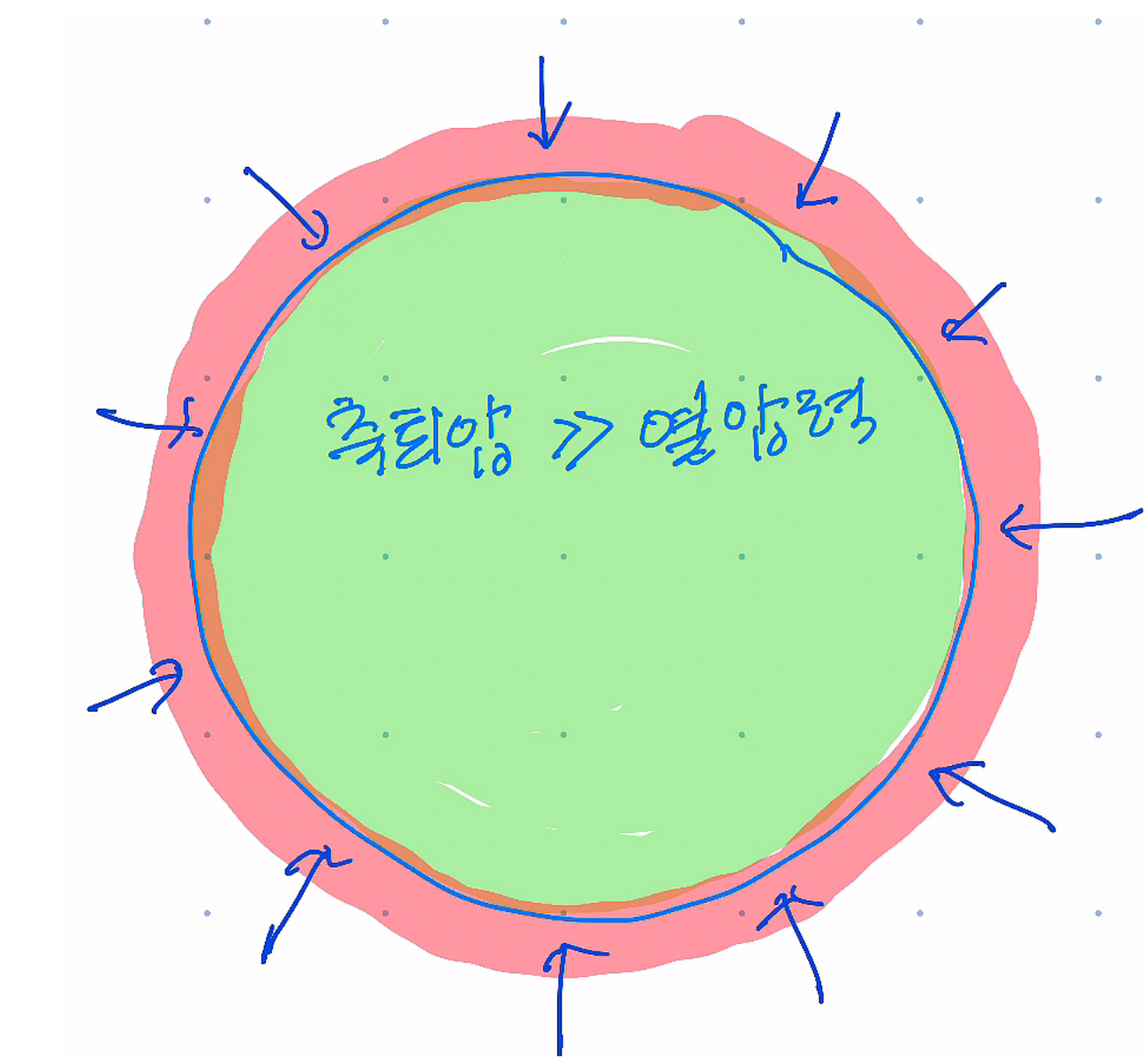
(양자) 겹침 압력이 지배하는 별의 탄생 (겹침 압력 / 축퇴압력)

- 양자 겹침 압력이 열압력보다 매우 큼.
- 별이 에너지(빛)를 방출하여도, 별은 더이상 압축 안됨
- 연료가 소진되면 핵반응 멈춤
- 별의 크기는 거의 변하지 않고, 빛을 방출하면서 식어감
- (양자)겹침 압력이 지배하는 별의 탄생 (백색왜성, 중성자별)
- 외부에서 추가로 물질이 유입되지 않는 한,
온도가 식으면서 죽어감 (방출하는 빛의 양이 줄어듬)



(양자)겹침 압력이 지배하는 별의 특성

- 별의 질량이 증가하면, 중력에 의해 별의 중심부로 당기는 힘이 증가함
- 이 때, 압력에 의해 밖으로 미는 힘도 증가는 하지만,
중력에 의한 힘이 겹침 압력에 의한 힘보다 (상대적으로) 더 빨리 증가함
- 질량을 더하면 더할 수록 반경이 줄어듬
- 별 내부 입자들의 운동 속도가 빛의 속도에 가까워지면
(입자들의 속도가 빛의 속도 이상으로 커지지는 않으므로)
특수상대론의 적용을 받아 겹침 압력보다 중력-압력이 점점 더 커짐
- 별은 더 이상 중력을 버티지 못하고 붕괴됨.



중력 증가
축적압 증가
→ 핵거루기

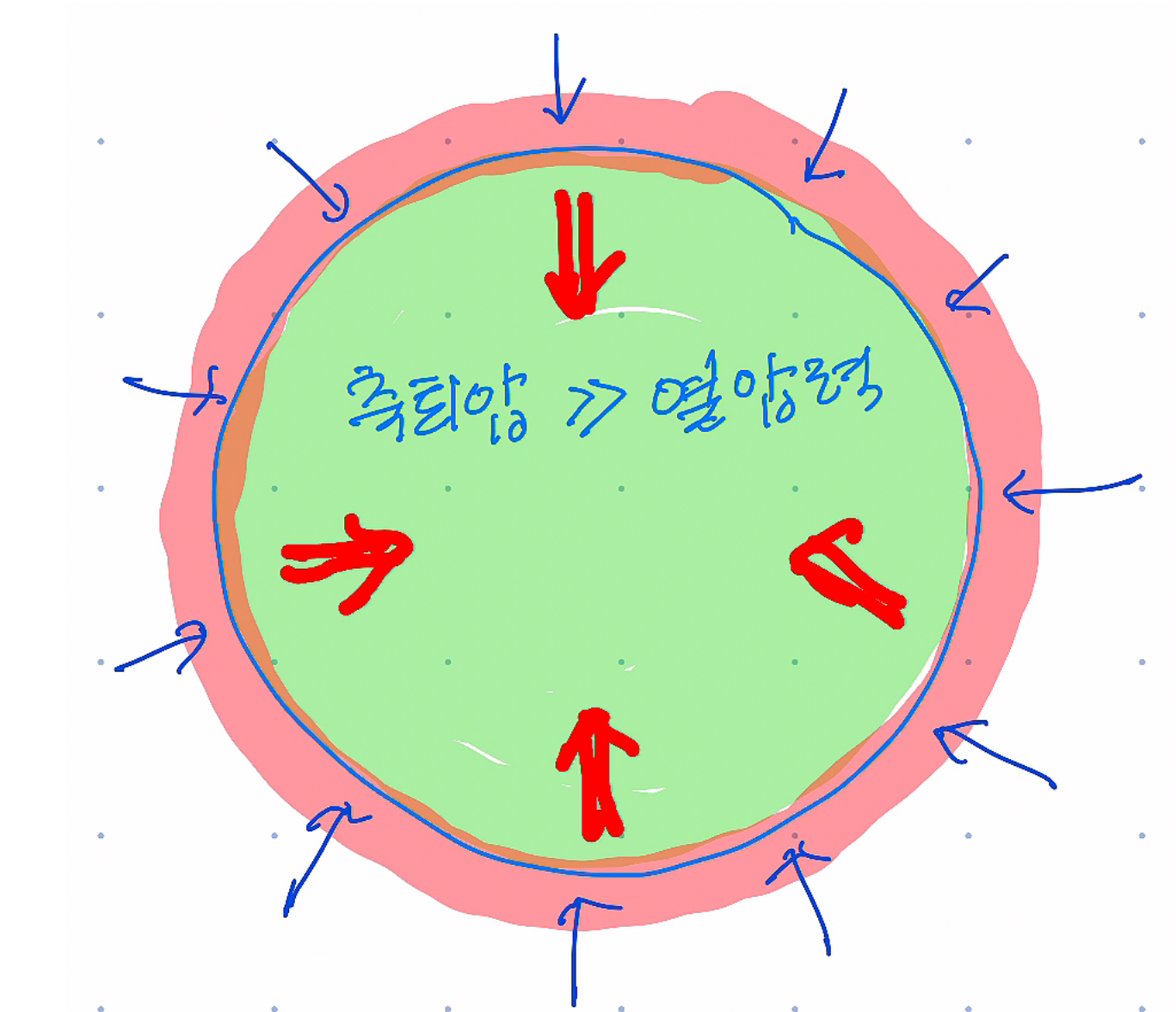
(양자)겹침 압력이 지배하는 별의 특성

● 백색왜성

- 백색왜성은 헬륨, 탄소, 산소 등으로 구성됨.
- 한계 질량에 다다른 백색왜성이 질량을 더하면, 겹침 압력이 중력을 버티지 못하고 별이 붕괴
- 별이 수축하면서 온도가 증가하여 다음 핵반응이 진행되어 갑자기 많은 열이 발생
- 핵반응이 연쇄적으로 진행되어 초신성 폭발이 일어남

● 중성자별

- 한계 질량에 다다른 중성자별에 질량을 더하면
- 겹침 압력이 중력을 버티지 못하고 별이 붕괴
- 별이 수축하면서 (다음 핵반응이 진행되지 못하므로) 블랙홀이 형성됨



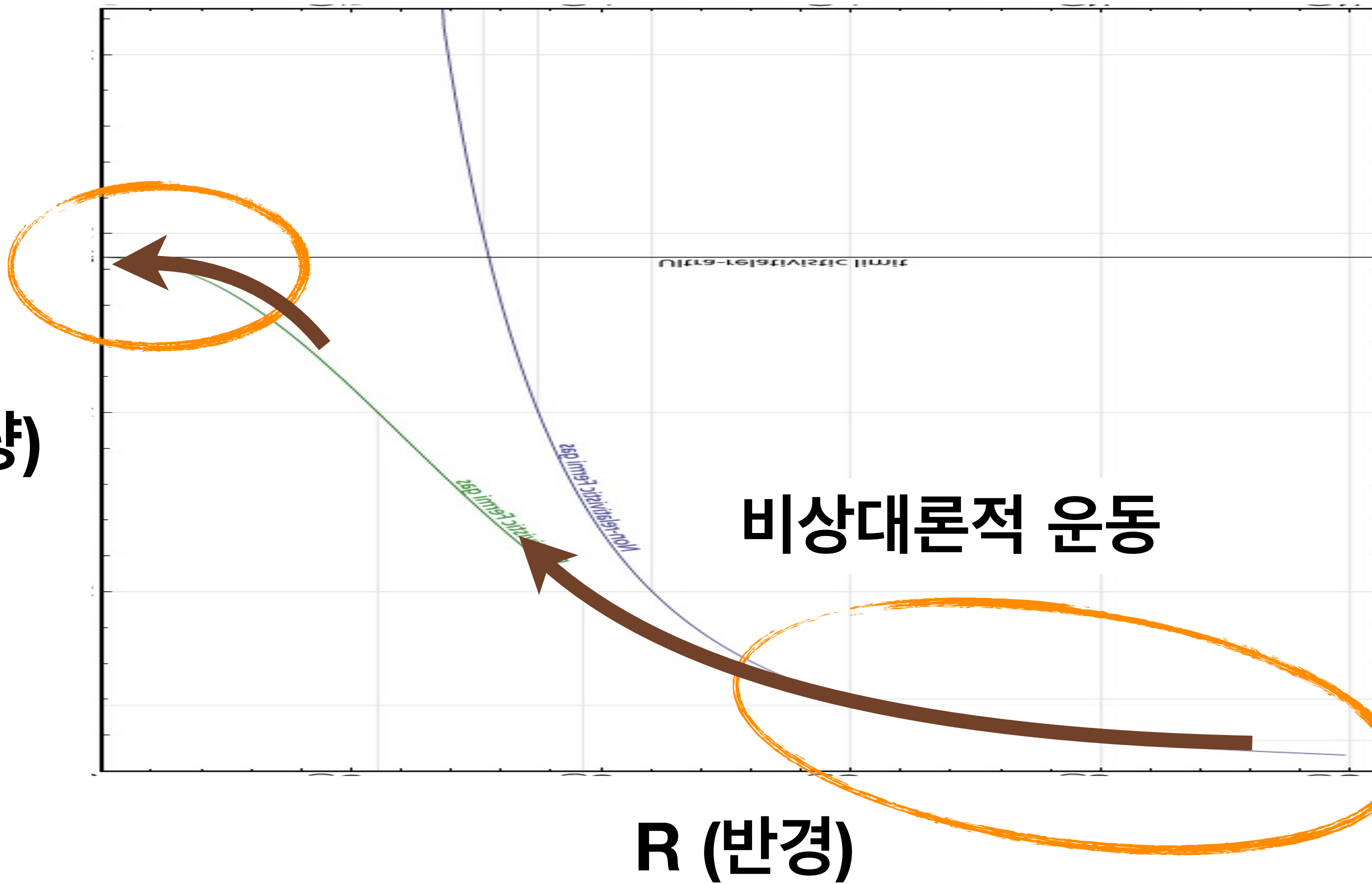
백색왜성 (전자들의 겹침 압력이 결정적)

상대론적 운동

M (질량)

비상대론적 운동

R (반경)



[Problem 1] The ideal Fermi gas equation of states of white dwarfs or neutron stars, in which quantum degeneracy pressure dominates, can be represented by polytropic form;

$$P_{\text{deg}} = K_{\Gamma} \rho^{\Gamma} = K_n \rho^{(n+1)/n}$$

where $K_{\Gamma}(K_n)$ and Γ are constants, ρ is density and n is called the polytropic index.

$$\Gamma(P) = \frac{d(\ln P)}{d(\ln \rho)}$$

-
- a) For the comparison, consider an adiabatic expansion of an ideal monoatomic gas for which thermal (kinetic) pressure, $P_{\text{kin}} = (\rho/m)kT$, dominates and degeneracy pressure is negligible. Show that

$$TV^{\gamma-1} = \text{constant}, \quad P_{\text{kin}}V^{\gamma} = \text{constant}, \quad P_{\text{kin}} \propto \rho^{\gamma}$$

where $\gamma = c_P/c_V = 5/3$ is the ratio of specific heats (c_P : specific heat at constant pressure, c_V : specific heat at constant volume).

Polytropic Structure

n : polytropic index

ideal Fermi gas

$$p \propto \rho^\gamma \propto \rho^{(n+1)/n}$$

cf)

Thermal pressure for an adiabatic process

$$pV^\gamma = \text{constant}$$

$$\gamma = \frac{c_p}{c_V} \quad \text{ratio of specific heats}$$

$$E = \frac{3}{2} \frac{N}{V} kT$$

$$P_{\text{kin}} = \frac{N}{V} kT$$

$$\gamma = \frac{5}{3} \quad \text{mono-atomic gas}$$

Workout Problem

$$TV^{\gamma-1} = \text{constant}, \quad P_{\text{kin}}V^{\gamma} = \text{constant}, \quad P_{\text{kin}} \propto \rho^{\gamma}$$

$$E = \frac{3}{2}nkT$$

$$P_{\text{kin}} = nkT$$

$$\Delta E_{\text{th}} = W + Q = -P \Delta V + Q$$

만열과정 $\Delta E_{\text{th}} + P \Delta V = 0 \quad (Q=0)$

$E_{\text{th}} \text{ 모양}$ \Downarrow $\Delta E_{\text{th}} = n C_V \Delta T$

$$n C_V dT + P dV = 0$$

$dT \text{ 모양}$ \Downarrow $PV = nRT$
 $PdV + dP V = nR dT$

$$\frac{C_V}{R} (PdV + dP V) + PdV = 0$$

$$\Downarrow \quad \frac{C_V + R}{R} PdV + C_V V dP = 0$$

$$\frac{dP}{P} + \frac{C_V + R}{C_V} \frac{dV}{V} = 0$$

$$\frac{dP}{P} + \frac{C_V + R}{C_V} \frac{dV}{V} = 0$$

$$\Downarrow \quad \gamma = \frac{C_V + R}{C_V} = \frac{C_P}{C_V}$$

$$\frac{dP}{P} + \gamma \frac{dV}{V} = 0$$

$$\Downarrow \quad \ln P + \gamma \ln V = C$$

$$\Downarrow \quad \ln P + \ln V^{\gamma} = \ln PV^{\gamma} = \text{상수}$$

$$PV^{\gamma} = \text{상수}$$

$$\gamma = \frac{5}{3}$$

mono-atomic gas

Ideal Degenerate Electron Gas

$$\Delta x \Delta p_x > h \quad d^3 p dV > h^3$$

$$\rho_{\text{quantum}} \approx \frac{m_p}{(\lambda_e/2)^3} = \frac{8m_p(3m_e kT)^{3/2}}{h^3}$$

$$\rho_{\text{quantum}}(\text{sun, center}) \approx 640 \text{ g/cm}^3$$

$$\rho_{\text{quantum}}(T = 10^8 \text{ K}) \approx 11,000 \text{ g/cm}^3$$

$$n_e = \int_0^{p_f} \frac{8\pi}{h^3} p^2 dp = \frac{8\pi}{3h^3} p_f^3 = Z n_+ = Z \frac{\rho}{A m_p}$$

n_e, n_+ number density

white dwarfs

$$\rho_{\text{WD}} \sim 10^6 \text{ g/cm}^3$$

Degeneracy Pressure / Polytropic Structure

n : polytropic index

ideal Fermi gas

$$p \propto \rho^\gamma \propto \rho^{(n+1)/n}$$

Non-relativistic

$$\gamma = \frac{5}{3}$$

$$n = \frac{3}{2}$$

$$P_e = \left(\frac{3}{\pi}\right)^{2/3} \frac{h^2}{20m_e m_p^{5/3}} \left(\frac{Z}{A}\right)^{5/3} \rho^{5/3}$$

Ultra-relativistic

$$\gamma = \frac{4}{3}$$

$$n = 3$$

$$P_e = \left(\frac{3}{8\pi}\right)^{1/3} \frac{hc}{4m_p^{4/3}} \left(\frac{Z}{A}\right)^{4/3} \rho^{4/3}$$

$$P_e \propto \int_0^\infty n_e(p) p v dp \propto \int_0^{p_F} \frac{p^4}{\sqrt{p^2 + m^2}} dp$$



p : momentum transfer

v : number of particles



$$p = \gamma m v$$

- b) For ideal Fermi gas, in the zero temperature limit, show that the number density of gas (n_g) and Fermi momentum (p_F) are related by

$$n_g = g \times \frac{2\pi}{3h^3} p_F^3$$

where g is the degeneracy.

Consider simple case ($T=0$)

isotropic distribution

$$d^3p \rightarrow 4\pi p^2 dp$$

$$dN(p)dp = 2 \times \frac{d^3pdV}{h^3} = \begin{cases} 2 \times \frac{4\pi p^2 dp dV}{h^3} & \text{if } |\vec{p}| \leq p_F \\ 0 & \text{if } |\vec{p}| > p_F \end{cases}$$

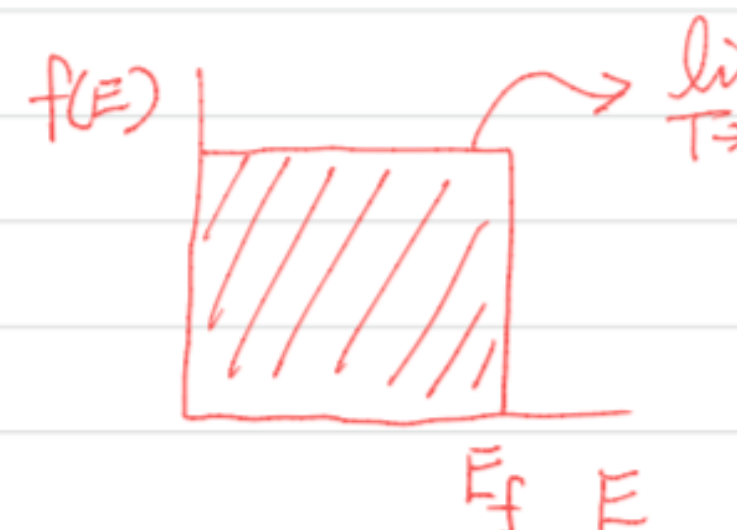
Fermi momentum

$$m_e c p) dp = \frac{8\pi P^2 dp}{h^3}$$

$$n_e = \int_0^{p_F} \frac{8\pi}{h^3} p^2 dp = \frac{8\pi}{3h^3} p_F^3$$

Normal gas. $P(T=0)=0$.

Quantum gas $P(T=0) \neq 0$ from $\Delta x \Delta p^3 \geq h^3$



All states with $E \leq E_F$ are occupied (degenerate)

Non-relativistic

c) In the non-relativistic limit, show that

$$P_{\text{deg}} = g \times \frac{4\pi}{3h^3} \times \frac{1}{5m} \times p_F^5$$

and $\Gamma = 5/3$ and $n = 3/2$. Why is Γ the same as γ obtained in a) despite the difference in their physical origin?

Ultra-relativistic

d) In the full relativistic limit, show that

$$P_{\text{deg}} = g \times \frac{4\pi}{3h^3} \times \frac{c}{4} \times p_F^4$$

and $\Gamma = 4/3$ and $n = 3$.

Workout Problem

Degeneracy Pressure

\vec{P}

\vec{P}

dA

$\Delta P_x = 2P_x$

$v_x = \frac{dx}{dt}$

change of momentum
of particles

$$\frac{dF_x}{dA} = \frac{2P_x}{dAdt} = \frac{2P_x}{dA (dx/v_x)} = \frac{2P_x v_x}{dV}$$

↑ The force per unit area due to each collision.

$$P = \int_0^\infty \frac{dN(p)}{2} \frac{2P_x v_x}{dV} dp$$

only half of electrons are moving
+x at any given time.

$$P_x v_x = \frac{1}{3} P v$$

$$\left\{ \begin{array}{l} v = |\vec{v}| = \sqrt{v_x^2 + v_y^2 + v_z^2} = \sqrt{3} v_x \\ P = \sqrt{3} P_x \\ v_p = 3 P_x v_x \end{array} \right.$$

$$P_e = \frac{1}{3} \int_0^\infty n_e(p) p v dp$$

$$P_e = \frac{8\pi}{3h^3} \int_0^{P_F} v p^3 dp$$

Workout Problem

Degeneracy Pressure

$$P_e = \frac{8\pi}{3h^3} \int_0^{P_F} v p^3 dp$$

$$p = \gamma m v , E = \gamma m c^2$$

$$v = \frac{P}{m_f} = \frac{P c^2}{E} = \frac{P c^2}{\sqrt{p^2 c^2 + m_e^2 c^4}}$$

$$P_e = \frac{8\pi}{3h^3} \int_0^{P_F} \frac{p^4 c^2}{\sqrt{p^2 c^2 + m_e^2 c^4}} dp$$

$$n_e = \frac{X\rho}{m_H} + \frac{(1-X)\rho}{2m_H} = \frac{\rho}{2m_H} (1+X)$$

$$n_e = \frac{\rho}{M_e M_H} ; M_e = \frac{Z}{1+X} \quad (\text{mean molecular weight of electron})$$

from

$$n_e = \frac{8\pi}{3h^3} P_F^3$$

$$P_F = \left(\frac{3h^3 \rho}{8\pi M_e M_H} \right)^{1/3}$$

non-relativistic

c) In the non-relativistic limit, show that

$$P_{\text{deg}} = g \times \frac{4\pi}{3h^3} \times \frac{1}{5m} \times p_F^5$$

and $\Gamma = 5/3$ and $n = 3/2$. Why is Γ the same as γ obtained in a) despite the difference in their physical origin?

$$P_e = \frac{8\pi}{3h^3} \int_0^{p_F} \frac{p^4 c^2}{\sqrt{p^2 c^2 + m_e^2 c^4}} dp$$

i) non-relativistic

$$\sqrt{p^2 c^2 + m_e^2 c^4} \approx m_e c^2$$

$$P = \frac{8\pi}{15 h^3 m_e} p_F^5$$

$$P = K_1 p^{5/3}$$

$$K_1 = \frac{3^{2/3}}{20 \pi^{2/3}} \frac{h^2}{m_e M_H^{5/3} M_e^{5/3}} = \frac{1.00 \times 10^7}{M_e^{5/3}}$$

ultra-relativistic

d) In the full relativistic limit, show that

$$P_{\text{deg}} = g \times \frac{4\pi}{3h^3} \times \frac{c}{4} \times p_F^4$$

and $\Gamma = 4/3$ and $n = 3$.

$$P_e = \frac{8\pi}{3h^3} \int_0^{p_F} \frac{p^4 c^2}{\sqrt{p^2 c^2 + m_e^2 c^4}} dp$$

ii) fully relativistic $\sqrt{p^2 c^2 + m_e^2 c^4} \approx pc$

$$P = \frac{2\pi c}{3h^3} P_F^4$$

$$P = K_2 p^{4/3}$$

$$K_2 = \frac{3^{1/3}}{8\pi^{1/3}} \frac{hc}{m_H^{4/3} M_e^{4/3}} = \frac{1.24 \times 10^0}{M_e^{4/3}}$$

- e) For typical white dwarfs ($\rho \sim 10^6 \text{ g cm}^{-3}$) and neutron stars ($\rho \sim 10^{14} \text{ g cm}^{-3}$), compare the magnitudes of degeneracy pressure (P_{deg}), kinetic pressure of the ideal gas (P_{kin}) and radiation pressure at $kT = 1 \text{ MeV}, 1 \text{ keV}$ and 1 eV .

$$P_{\text{total}} = P_{\text{deg}} + \frac{\rho}{m} kT + \frac{1}{3} a T^4$$

where $k = 1.4 \times 10^{-16} \text{ erg K}^{-1} = 8.6 \times 10^{-5} \text{ eV K}^{-1}$.

$$\left(20^\circ\text{C} = 293K \approx \frac{1}{40} \text{ eV}\right)$$

Without nuclear reaction, star will contract to the quantum limit.

de Broglie wavelength

$$\lambda = \frac{h}{p} = \frac{h}{\sqrt{2mE}} \approx \frac{h}{\sqrt{3mkT}}$$

$$E \sim \frac{3}{2}kT$$

* electron will reach quantum domain first

Check.

If we assume inter-particle separation $\sim \frac{\lambda}{2}$
 \rightarrow quantum domain

$$P_{\text{quantum}} \approx \frac{m_p}{(\lambda/2)^3} = \frac{8m_p(3mkT)^{3/2}}{h^3}$$

With $T = 15 \times 10^6 \text{ K}$

$$P_{\text{quantum}} \approx 640 \text{ g/cm}^3$$

$$P_{\text{center, sun}} \sim 150 \text{ g/cm}^3$$

↑
classical.

$$n = 1/(\gamma - 1)$$

$$\gamma = (n + 1)/n$$

Lane-Emden Equation

$$\frac{dP(r)}{dr} = -\frac{GM(r)\rho(r)}{r^2}$$

$$\frac{dM(r)}{dr} = 4\pi r^2 \rho(r)$$

$$\frac{1}{r^2} \frac{d}{dr} \left(\frac{r^2}{\rho} \frac{dP}{dr} \right) = -4\pi G \rho$$

$$P = K \rho^\gamma$$

$$\rho = \rho_c \theta^n$$

$$r = a\xi$$

$$a = \sqrt{\frac{(n+1)K_n \rho_c^{(1-n)/n}}{4\pi G}}$$

$$\frac{1}{\xi} \frac{d}{d\xi} \xi^2 \frac{d\theta}{d\xi} = -\theta^n$$

$$\rho = \rho_c \theta^n$$

center $\theta(0) = 1, \quad \theta'(0) = 0$

surface $\theta(\xi_1) = 0 \quad \rightarrow \quad P = \rho = 0$

$$M = 4\pi \left[\frac{(n+1)K_n}{4\pi G} \right]^{3/2} \rho_c^{(3-n)/2n} \left| \left(\xi^2 \frac{d\theta}{d\xi} \right)_{\xi=\xi_1} \right|$$

$$R = \sqrt{\frac{(n+1)K_n \rho_c^{(1-n)/n}}{4\pi G}} \xi_1$$

Constants of Lane-Emden equation

$$r = a\xi$$

n	ξ_i	$-\xi_i^2 \left(\frac{d\theta_n}{d\xi} \right)_{\xi=\xi_i}$	$\rho_c/\bar{\rho}$
0.....	2.4494	4.8988	1.0000
0.5.....	2.7528	3.7871	1.8361
1.0.....	3.14159	3.14159	3.28987
1.5.....	3.65375	2.71406	5.99071
2.0.....	4.35287	2.41105	11.40254
2.5.....	5.35528	2.18720	23.40646
3.0.....	6.89685	2.01824	54.1825
3.25.....	8.01894	1.94980	88.153
3.5.....	9.53581	1.89056	152.884
4.0.....	14.97155	1.79723	622.408
4.5.....	31.83646	1.73780	6189.47
4.9.....	169.47	1.7355	934800
5.0.....	∞	1.73205	∞

Stellar Structure by S. Chandrasekhar

Polytropic Structure

n : polytropic index

ideal gas $p \propto \rho^\gamma \propto \rho^{(n+1)/n}$

$$M = 4\pi \left[\frac{(n+1)K_n}{4\pi G} \right]^{3/2} \rho_c^{(3-n)/2n} \left| \left(\xi^2 \frac{d\theta}{d\xi} \right)_{\xi=\xi_1} \right|$$

Ultra-relativistic

$$\gamma = \frac{4}{3}$$

$$n = 3$$

$$P_e = \left(\frac{3}{8\pi} \right)^{1/3} \frac{hc}{4m_p^{4/3}} \left(\frac{Z}{A} \right)^{4/3} \rho^{4/3}$$

Chandrasekhar limit

$\mu_e = A/Z \approx 2$ for He, C, O, ..

Ultra-relativistic

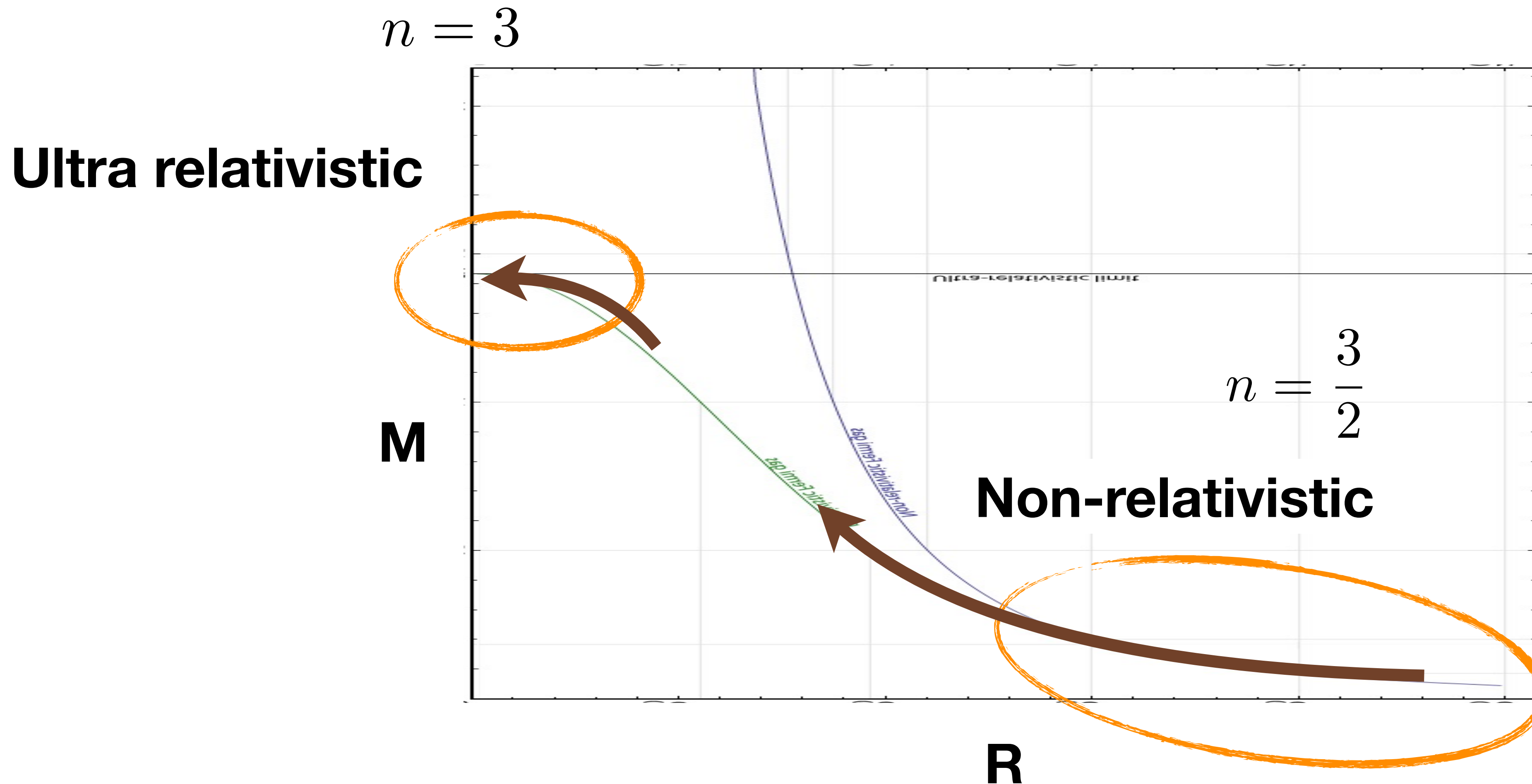
$$\gamma = \frac{4}{3} \quad n = 3$$

$$M = 1.457 \left(\frac{2}{\mu_e} \right)^2 M_\odot$$

$$R = 3.347 \times 10^4 \left(\frac{\rho_c}{10^6 \text{ g cm}^{-3}} \right)^{-1/3} \left(\frac{2}{\mu_e} \right)^{2/3} \text{ km}$$

Mass is independent of central density

White Dwarfs - electron degeneracy pressure



White Dwarfs

$\mu_e = A/Z \approx 2$ for He, C, O, ..

Non-relativistic $\gamma = \frac{5}{3}$ $n = \frac{3}{2}$

$$R = 1.122 \times 10^4 \left(\frac{\rho_c}{10^6 \text{ g cm}^{-3}} \right)^{-1/6} \left(\frac{2}{\mu_e} \right)^{5/6} \text{ km}$$

$$M = 0.7011 \left(\frac{R}{10^4 \text{ km}} \right)^{-3} \left(\frac{2}{\mu_e} \right)^5 M_\odot$$

Ultra-relativistic $\gamma = \frac{4}{3}$ $n = 3$

$$R = 3.347 \times 10^4 \left(\frac{\rho_c}{10^6 \text{ g cm}^{-3}} \right)^{-1/3} \left(\frac{2}{\mu_e} \right)^{2/3} \text{ km}$$

$$M = 1.457 \left(\frac{2}{\mu_e} \right)^2 M_\odot$$

independent of central density

[Problem 2] At zero temperature limit, when the compact star is in a hydrostatic equilibrium with spherical symmetry, compact star equation of state can be obtained by solving TOV (Tolman-Oppenheimer-Volkoff) equation

$$\frac{dP(r)}{dr} = -\frac{GM(r)\epsilon(r)}{c^2r^2} \left(1 + \frac{P(r)}{\epsilon(r)}\right) \left(1 + \frac{4\pi r^3 P(r)}{M(r)c^2}\right) \left(1 - \frac{2GM(r)}{c^2r}\right)^{-1}$$

where $P(r)$ is the pressure, $\epsilon(r)$ is the energy density and $M(r)$ is the enclosed gravitational mass $M_G(r)$ for a given radius r . The gravitational and baryon masses of the star are defined by

$$M_G(r) = \int_0^R 4\pi r^2 \frac{\epsilon(r)}{c^2}$$

$$M_A(r) = m_A \int_0^R dr 4\pi r^2 n(r) \left(1 - \frac{2GM(r)}{c^2r}\right)^{-1/2}$$

where m_A is baryon mass and $n(r)$ is the baryon number density.

- a) In the Newtonian limit ($P \ll \epsilon$ and $GM/c^2 \ll r$), with polytropic EOS, show that TOV equation can be reduced to Lane-Emden equation

$$\frac{1}{\xi^2} \frac{d}{d\xi} \xi^2 \frac{d\theta}{d\xi} = -\theta^n$$

with $\rho = \rho_c \theta^n$, $r = a\xi$, and

$$a = \sqrt{\frac{(n+1)K_n \rho_c^{(1-n)/n}}{4\pi G}},$$

where ρ_c is the central density of a star.

$$\frac{dM_r}{dr} = 4\pi r^2 \rho$$

$$\frac{dP}{dr} = - \frac{GM_r}{r^2} \rho$$

$$\frac{1}{r^2} \frac{d}{dr} \left(\frac{r^2}{\rho} \frac{dP}{dr} \right) = \frac{1}{r^2} \frac{d}{dr} (-GM_r) = -4\pi G \rho$$

$$\frac{1}{r^2} \frac{d}{dr} \left(\frac{r^2}{\rho} \frac{dP}{dr} \right) = -4\pi G \rho$$

b) The Lane-Emden equation can be solved with boundary conditions at the center;

$$\theta(0) = 1, \quad \theta'(0) = 0.$$

For $n < 5$ (or $\Gamma > 6/5$), the solution decreases monotonically and have a zero at a finite value $\xi = \xi_1$: $\theta(\xi_1) = 0$ (see Table 1 for numerical values). This point corresponds to the surface of the star, where $P = \rho = 0$. Show that the mass of the star is given as

$$M = 4\pi \left[\frac{(n+1)K_n}{4\pi G} \right]^{3/2} \rho_c^{(3-n)/2n} \left| \left(\xi^2 \frac{d\theta}{d\xi} \right)_{\xi=\xi_1} \right|.$$

Table 1: The constants of the Lane-Emden functions.

n	ξ_1	$-\xi_1^2 \left(\frac{d\theta_n}{d\xi} \right)_{\xi=\xi_1}$	$\rho_c/\bar{\rho}$
0.....	2.4494	4.8988	1.0000
0.5.....	2.7528	3.7871	1.8361
1.0.....	3.14159	3.14159	3.28987
1.5.....	3.65375	2.71406	5.99071
2.0.....	4.35287	2.41105	11.40254
2.5.....	5.35528	2.18720	23.40646
3.0.....	6.89685	2.01824	54.1825
3.25.....	8.01894	1.94980	88.153
3.5.....	9.53581	1.89056	152.884
4.0.....	14.97155	1.79723	622.408
4.5.....	31.83646	1.73780	6189.47
4.9.....	169.47	1.7355	934800
5.0.....	∞	1.73205	∞

- c) In the full relativistic and Newtonian limit, show that the mass become independent of radius. This implies that there exist maximum mass (Chandrasekhar mass) for the compact stars (for which quantum degeneracy pressure dominates). What is the value of the radius-independent mass?
-

$$M = 4\pi \left[\frac{(n+1)K_n}{4\pi G} \right]^{3/2} \rho_c^{(3-n)/2n} \left| \left(\xi^2 \frac{d\theta}{d\xi} \right)_{\xi=\xi_1} \right|$$

n	ξ_i	$-\xi_i^2 \left(\frac{d\theta_n}{d\xi} \right)_{\xi=\xi_i}$	$\rho_c/\bar{\rho}$
3.0.....	6.89685	2.01824	54.1825

$$M_{ch} = \frac{\sqrt{6}}{32\pi} \left(\frac{\hbar c}{G} \right)^{3/2} \left(\frac{2}{\mu_e} \right)^2 \frac{\xi_1^2 |\theta'(\xi_1)|}{m_H^2}$$

$$\xi_1^2 |\theta'(\xi_1)| = 2.018.$$

$$M_{ch} = 1.46 \left(\frac{2}{\mu_e} \right)^2 M_\odot$$

- d) In the Newtonian limit, show that the radius becomes independent of mass when $n = 1$. Note that $n = 1$ is possible only when the system is far from an ideal Fermi gas; i.e., interactions are non-negligible. What is the value of the mass-independent radius?
-

with $\rho = \rho_c \theta^n$, $r = a\xi$, and

$$a = \sqrt{\frac{(n+1)K_n \rho_c^{(1-n)/n}}{4\pi G}},$$

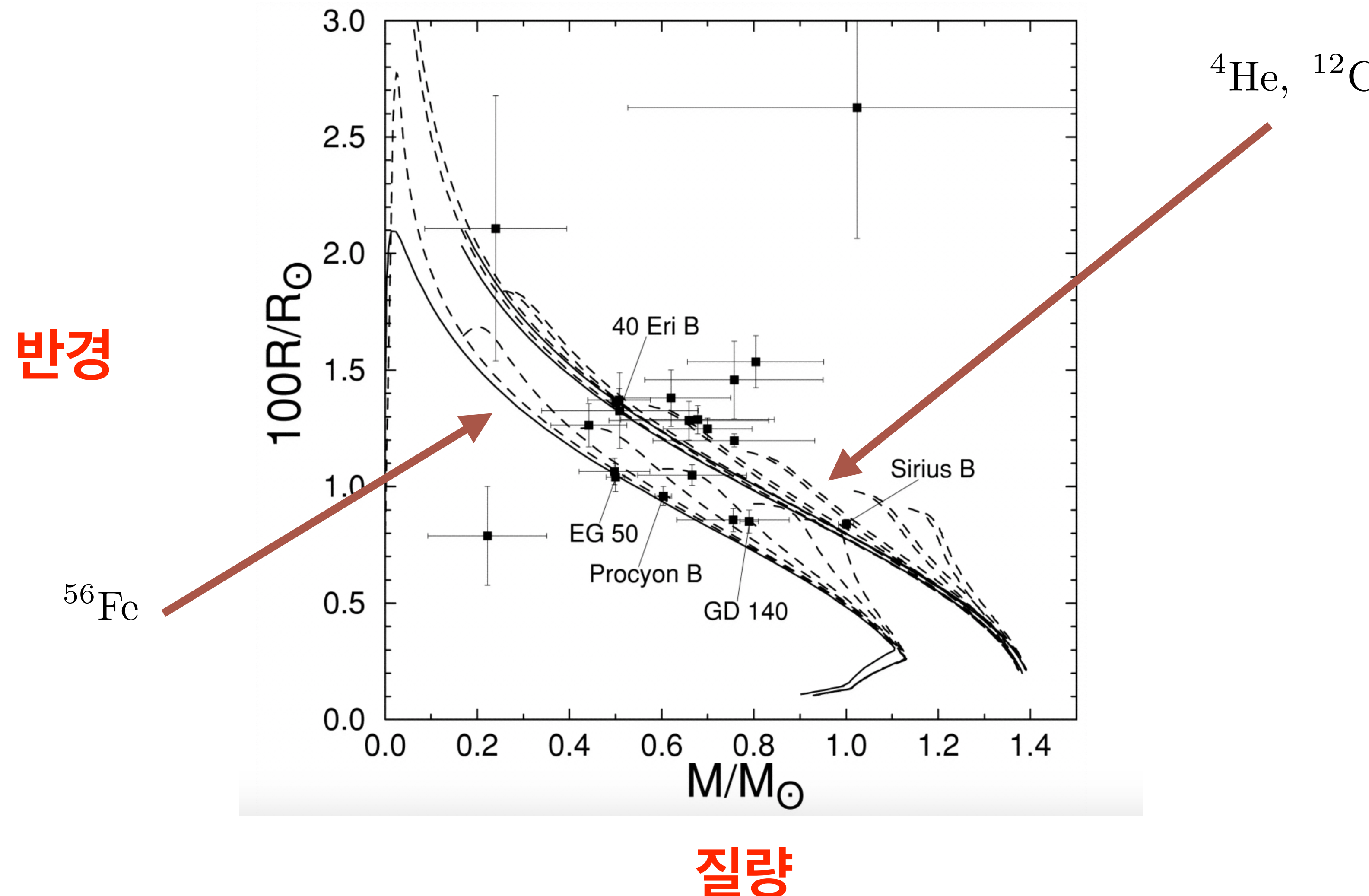
Table 1: The constants of the Lane-Emden functions.

n	ξ_1	$-\xi_1^2 \left(\frac{d\theta_n}{d\xi} \right)_{\xi=\xi_1}$	$\rho_c/\bar{\rho}$
0.....	2.4494	4.8988	1.0000
0.5.....	2.7528	3.7871	1.8361
1.0.....	3.14159	3.14159	3.28987

But, we don't know K_1 unless we know the interactions !

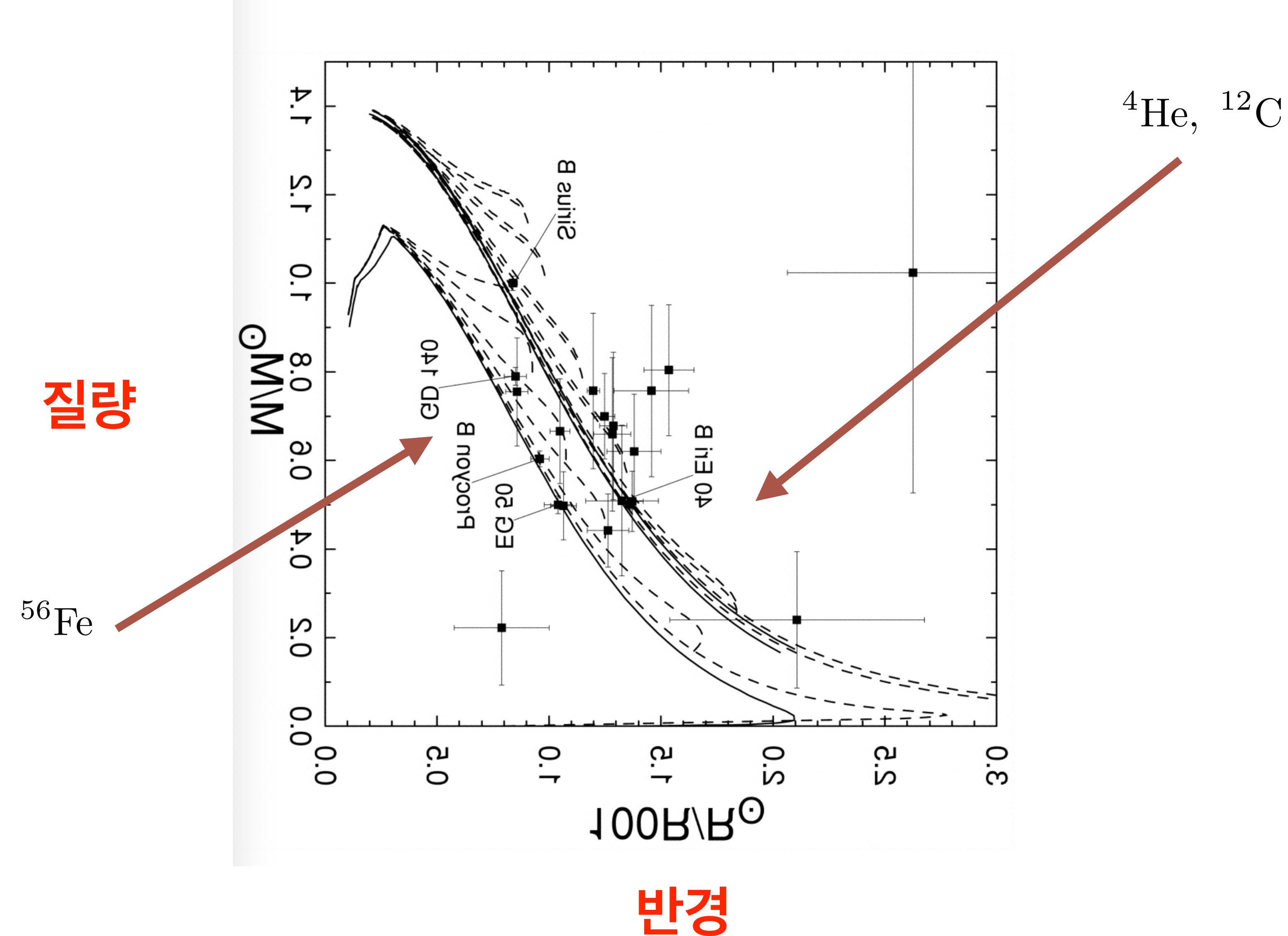
White Dwarfs

ApJ 530, 949 (2000)



White Dwarfs

ApJ 530, 949 (2000)



중성자별의 구조

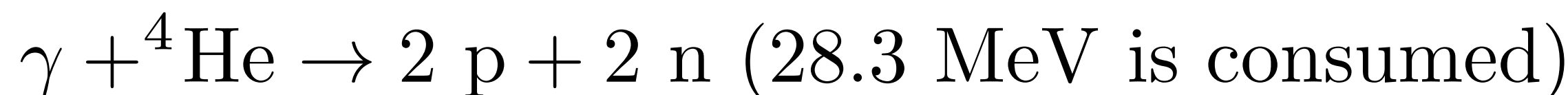
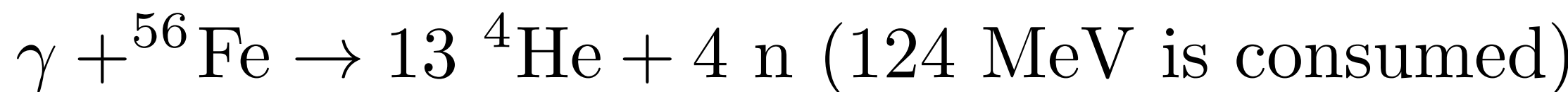
중성자 겹침 압력

Neutron Star Formation from Fe Core Collapse

When Fe core reaches Chandrasekhar Limit

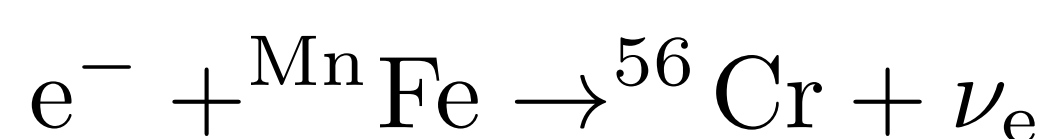
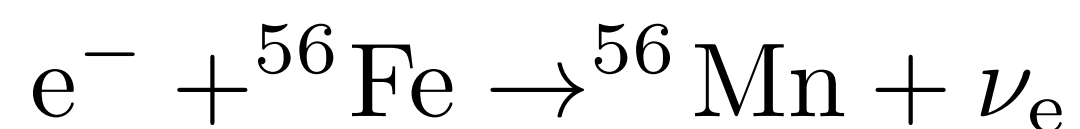
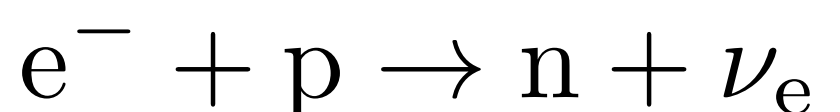
(n : neutron)

Nuclear Photodisintegration



$$E_{\text{consumed}}(10^{57} \text{p}) \sim 1.4 \times 10^{52} \text{ erg} \sim 10^{11} \text{ year with } L_\odot$$

Neutralisation



core collapse → **NS + Supernova**

$$R_{\text{Fe}} \sim 1500 \text{ km}$$

$$R_{\text{NS}} \sim \mathcal{O}(10 \text{ km})$$

$$\tau_{\text{fall}} \sim \text{a few seconds}$$

General Relativity

hydrostatic equilibrium

$$\frac{dP}{dr} = -\frac{GM\rho}{r^2} \quad \left| \quad \frac{dP}{dr} = -\frac{GM\rho}{r^2} \left(1 + \frac{P}{\rho c^2}\right) \left(1 + \frac{4\pi Pr^3}{Mc^2}\right) \left(1 - \frac{2GM}{rc^2}\right)^{-1}$$

$$\frac{dM}{dr} = 4\pi r^2 \rho \quad \left| \quad \frac{dM}{dr} = 4\pi r^2 \left(\frac{\epsilon}{c^2}\right)$$



include all energy sources

**physics of dense nuclear matter
(strong interaction)**

Without general relativity

n : polytropic index

ideal gas

$$p \propto \rho^\gamma \propto \rho^{(n+1)/n}$$

nonrelativistic

$$\gamma = \frac{5}{3} \quad n = \frac{3}{2}$$

$$P_N = \left(\frac{3}{\pi}\right)^{2/3} \left(\frac{h^2}{20m_N}\right) \left(\frac{\rho}{m_N}\right)^{5/3}$$

ultrarelativistic

$$\gamma = \frac{4}{3} \quad n = 3$$

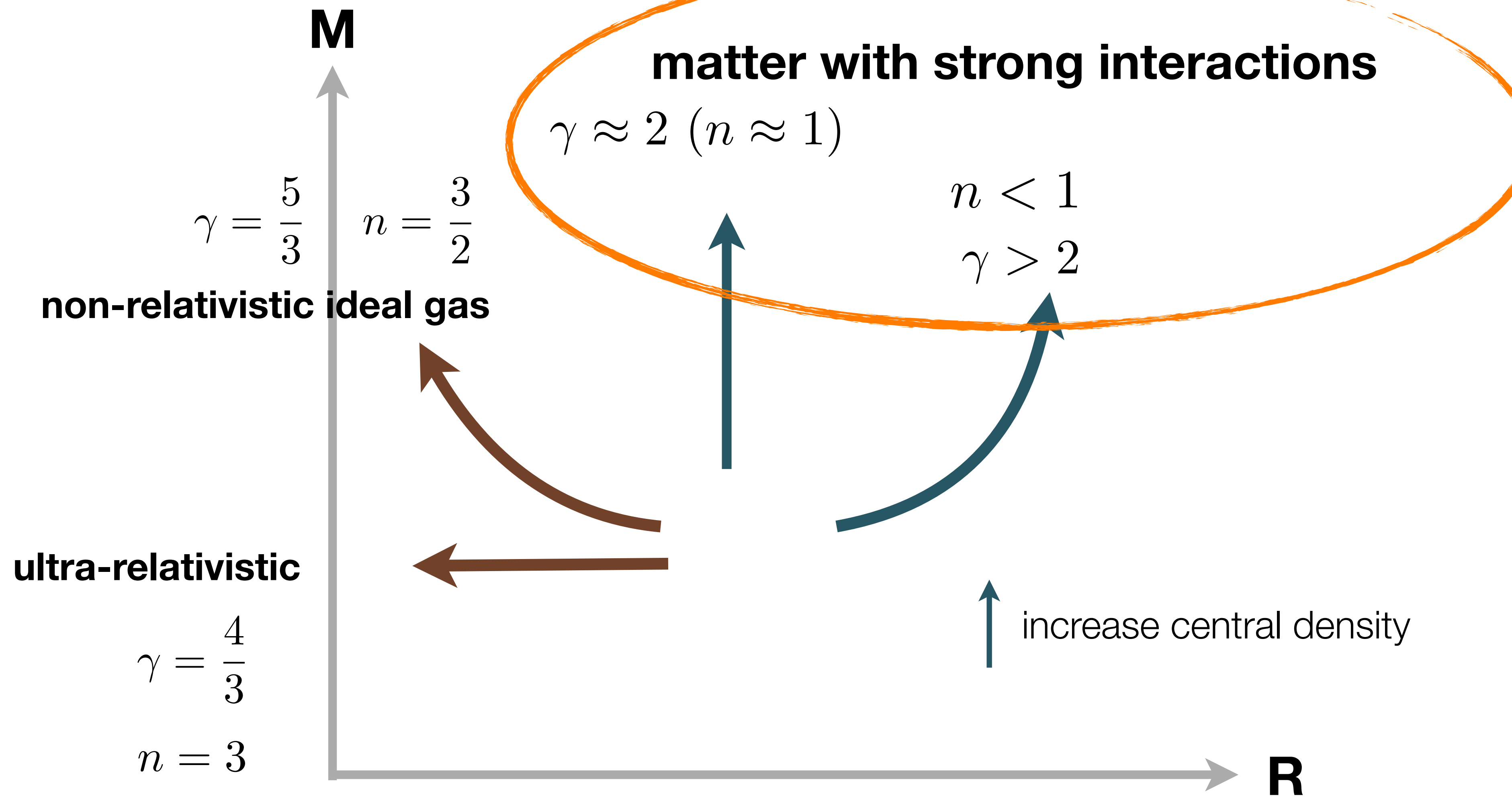
$$P_N = \left(\frac{3}{8\pi}\right)^{1/3} \left(\frac{hc}{4}\right) \left(\frac{\rho}{m_N}\right)^{4/3}$$

Without general relativity

$$M \propto R^{(\gamma-2)/(3\gamma-4)}$$

$$n = 1/(\gamma - 1)$$
$$\gamma = (n + 1)/n$$

Workout Problem



↑ 화살표방향 (중심부 질량 증가)

M (질량)

결국에는 매우 상대론적인 경우로 변함

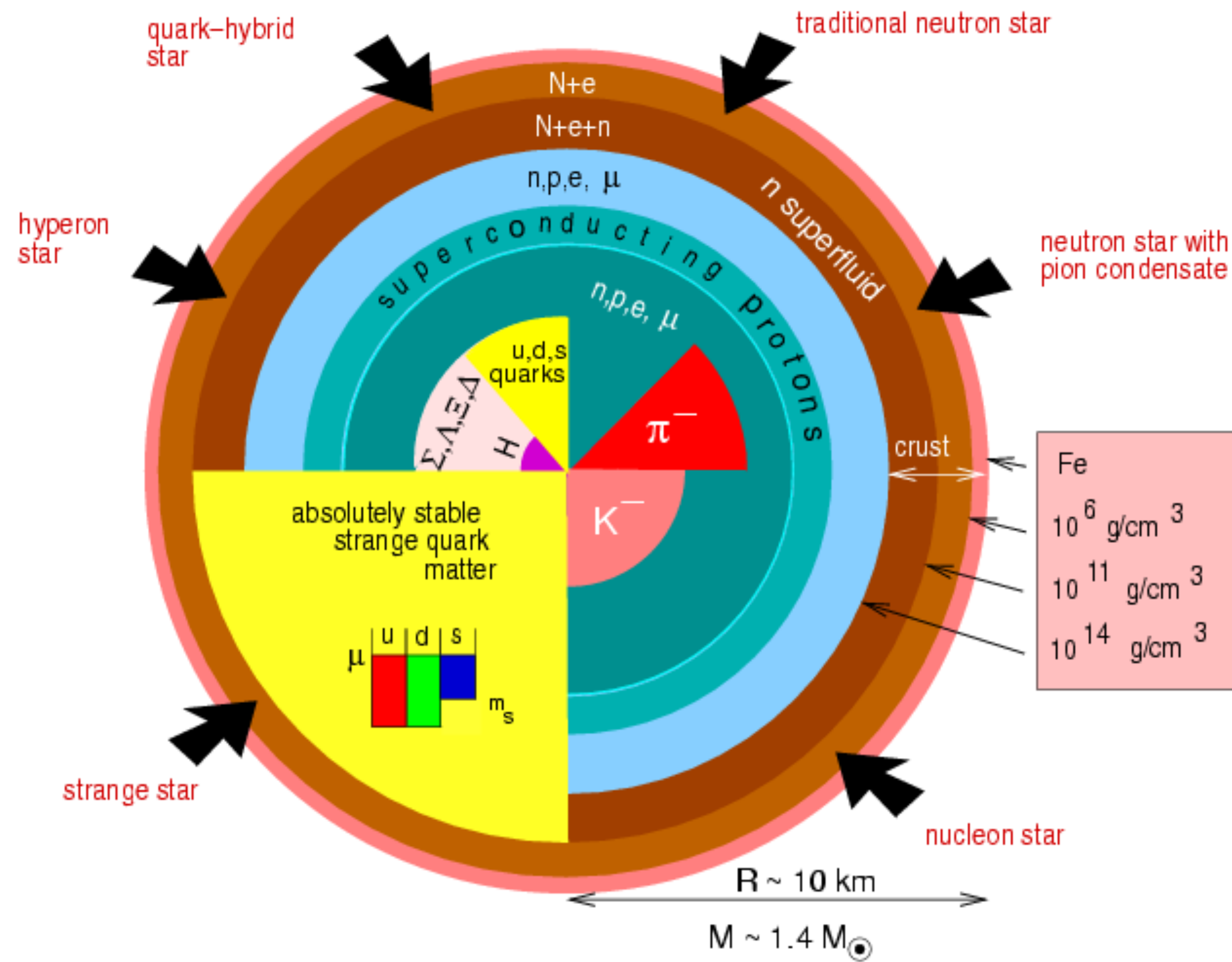
비상대론적인 경우

강상호작용이 있는 경우

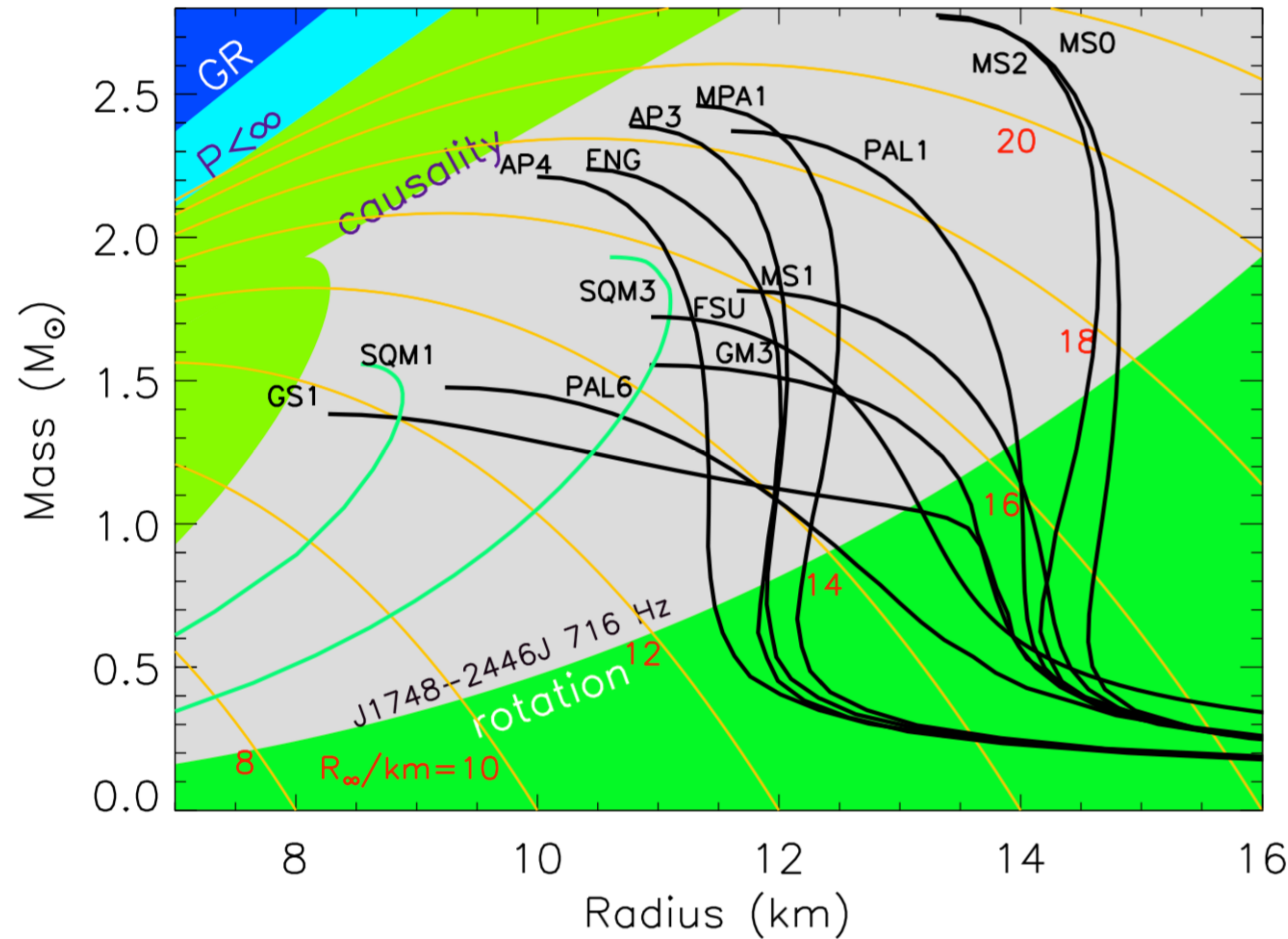
夸크로 구성된 중성자별

R (반경)

중성자별 내부구조는 아직도 잘 모름 !



다양한 중성자별 구조 상태방정식



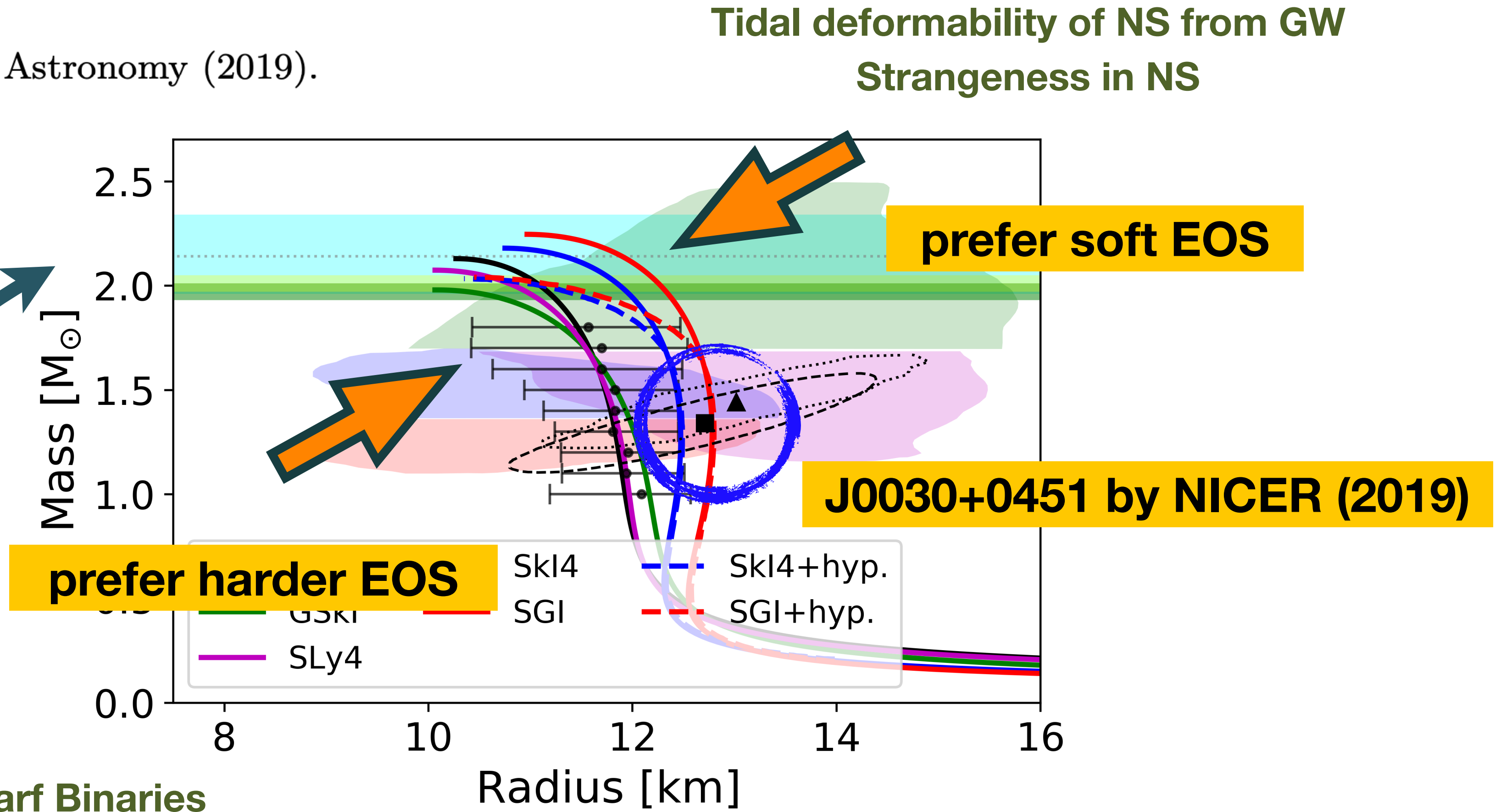
with general relativity & strong interactions !

Q) Which EOS ?

H. T. Cromartie, *et al.* Nature Astronomy (2019).

MSP J0740+6620

$2.14^{+0.20}_{-0.18} M_{\odot}$



Neutron Star-White Dwarf Binaries

1.97 solar mass NS : Nature 467 (2010) 1081

2.01 solar mass NS : Science 340 (2013) 6131

Tidal deformability of NS from GW
Strangeness in NS

J0030+0451 by NICER (2019)

IJMPE (2020) Kim, Lee, Kim, Kwak, Lim, Hyun

블랙홀 내부 ?

What's inside black hole ?

quantum gravity

gravity $\sim P_{\text{quantum}}$?

$$\frac{GMm}{l} \sim \frac{G}{l} \frac{E}{c^2} m \sim \frac{G}{lc^2} \frac{\hbar c}{l} m = \frac{G\hbar}{l^2 c} m \sim mc^2$$

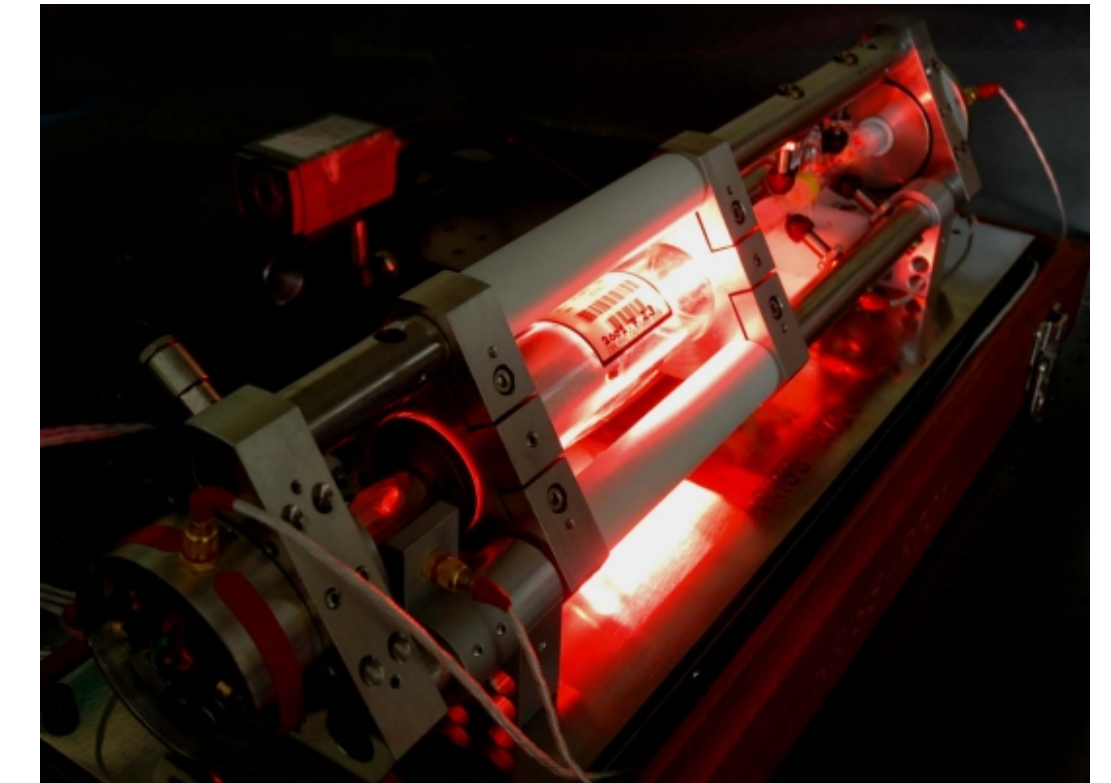
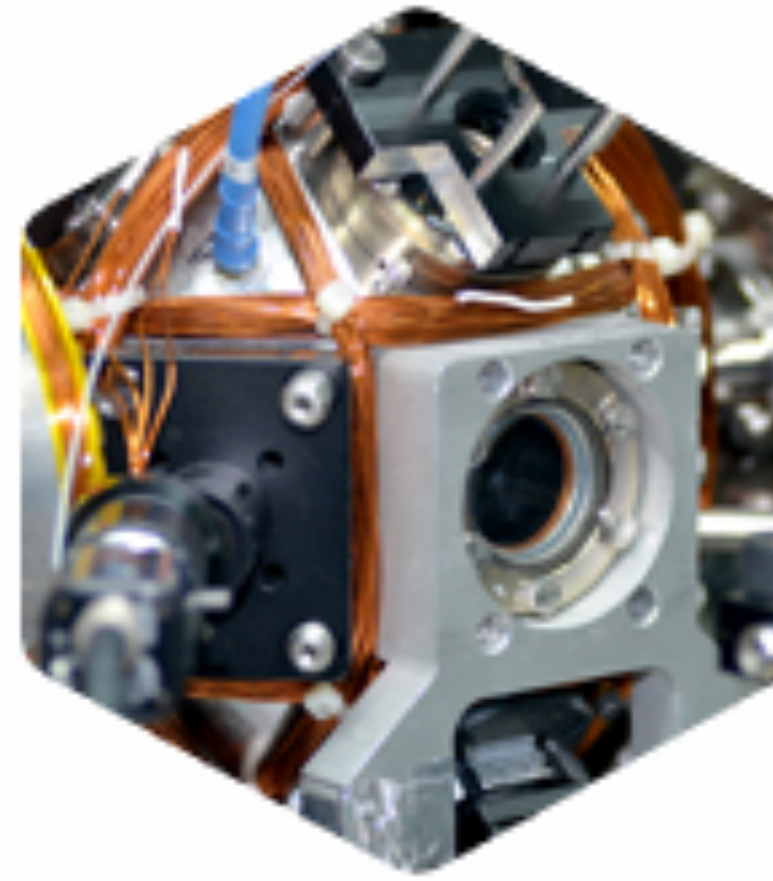
$$M \sim \frac{E}{c^2}$$

$$E \sim \frac{hc}{\lambda} \sim \frac{hc}{2\pi l} = \frac{\hbar c}{l}$$

$$l \sim \sqrt{\frac{G\hbar}{c^3}}$$

$$l_{\text{Planck}} \sim 10^{-33} \text{ cm}$$

$$t_{\text{Planck}} = \frac{l_{\text{Planck}}}{c} \sim 10^{-43} \text{ s}$$

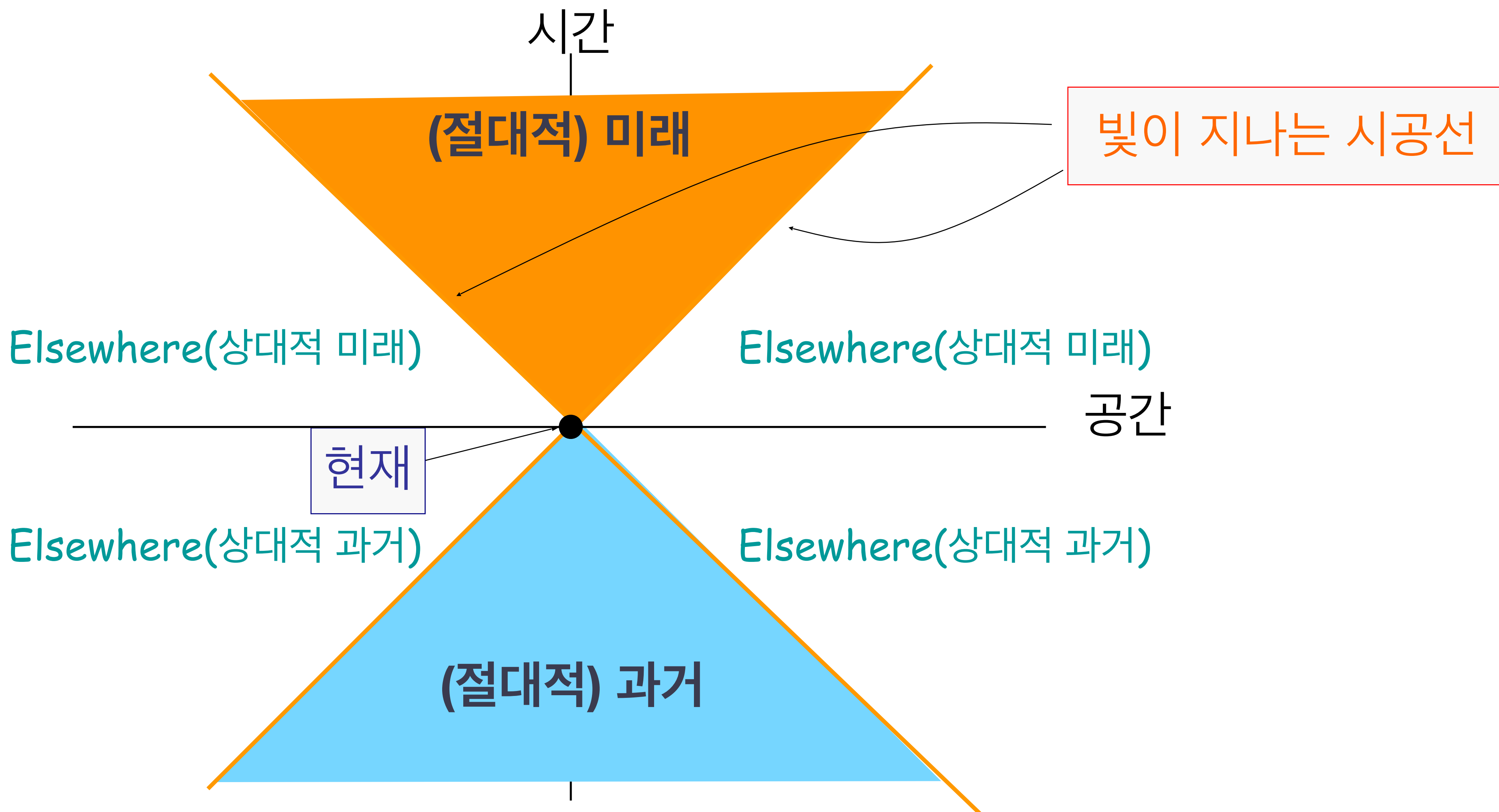


빛으로 이해하는 우주 / 시공간 자체의 변화

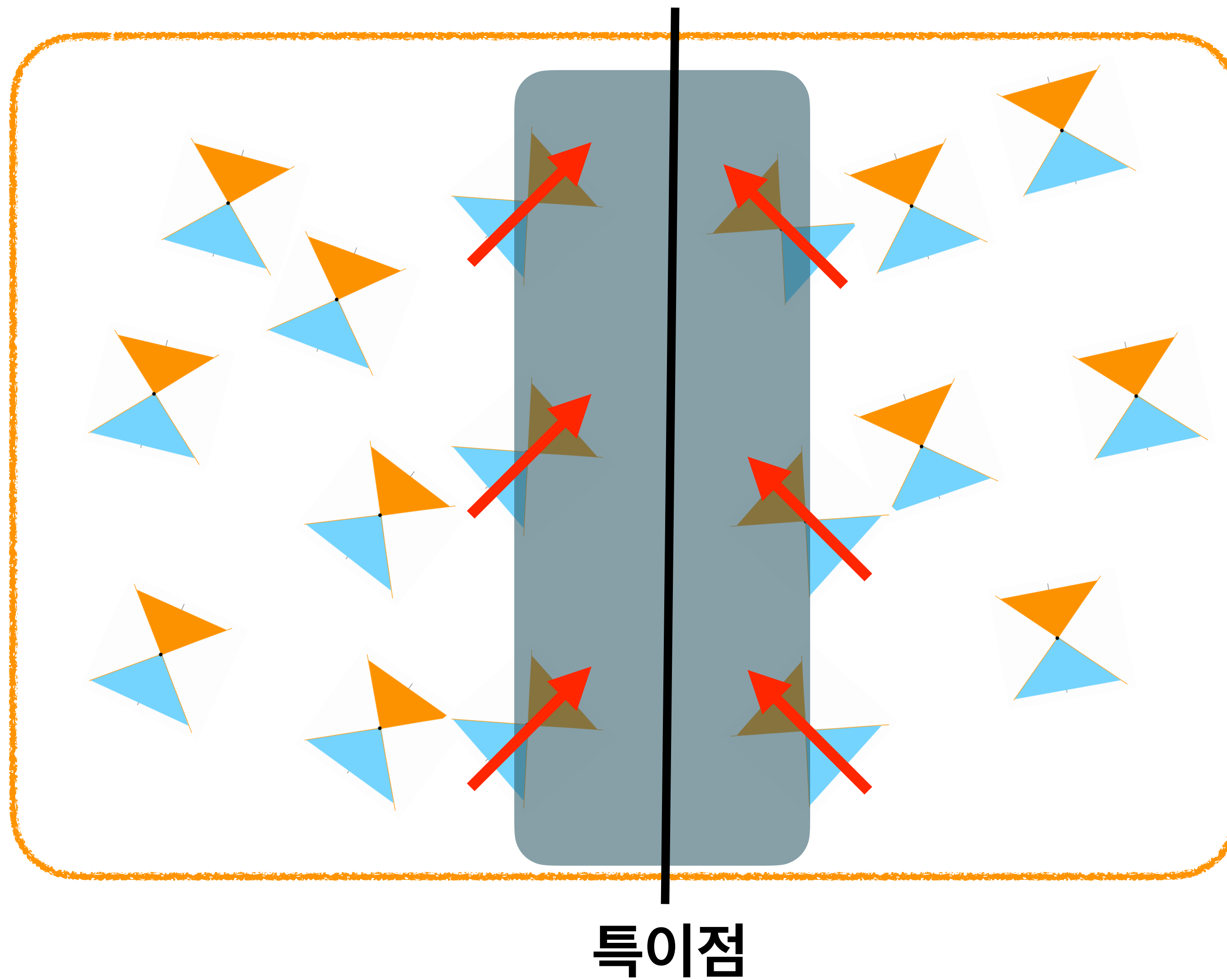
시간(세슘-133원자)과 길이의 기준

시간과 3차원 공간, 그리고 물질은 광속불변의 법칙에 의해 얹혀 있음

아인슈타인 - 과거, 현재, 미래, Elsewhere



시공간의 구조 / 블랙홀



- 블랙홀 안에서 미래는 특이점에 갇혀 버린다.
- 시간도 끝이 있다.
- 그럼, 시간의 시작은 ?



Gödel & Einstein

괴델이 준 충격

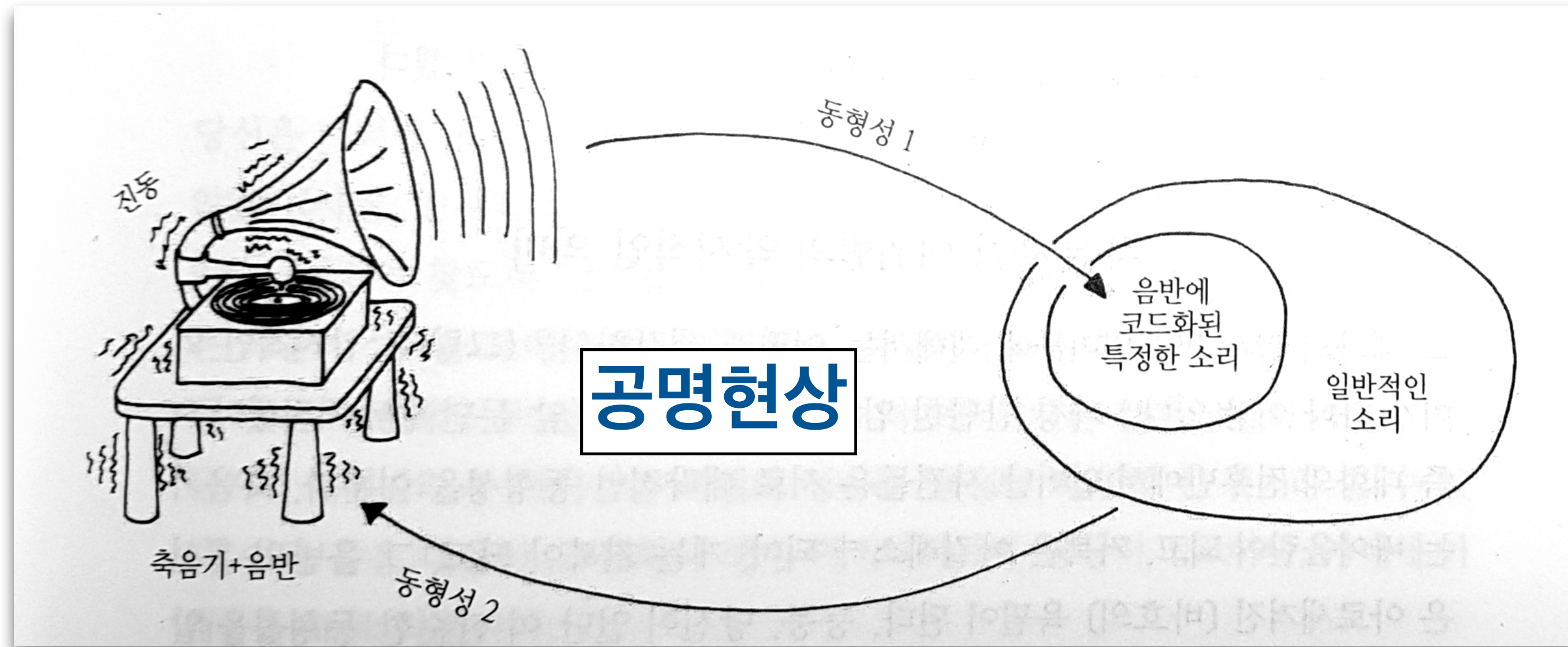
Kurt Gödel 1906-1978

괴델이 준 충격 - Now 시간의 물리학 / 리처드 뮐러

- 아인슈타인은 물리학이 ‘불완전’하다는 개념, 물리학은 실제에 대한 완전한 기술이 아니며 과거는 미래를 완벽하게 결정하지 않는다는 개념을 견딜 수 없었다
- 괴델의 정리
 - 20세기 가장 위대한 수학적 성취
 - 모든 수학적 체계 안에는 증명될 수 없는 진리가 포함되어 있다

고델의 정리 / 축음기

모든 수학적 체계 안에는 증명될 수 없는 진리가 포함되어 있다



그 어떤 축음기로도 소리를 재생할 수 없는 음반이 존재한다.
왜냐하면 그 소리가 ... 축음기의 자기파괴를 유발할 것이기 때문이다.

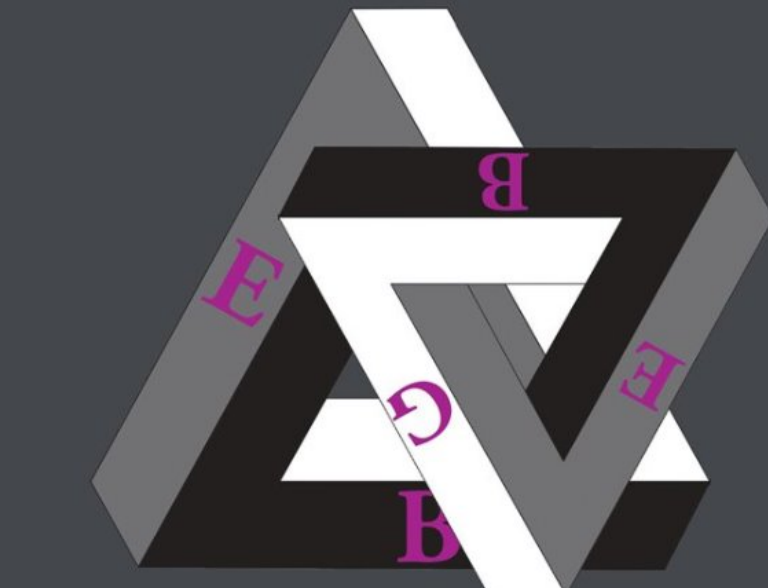
20주년 기념판 “서문” 수록
개역판

고델, 에셔, 바흐

영원한 황금 노끈

더글러스 호프스태터

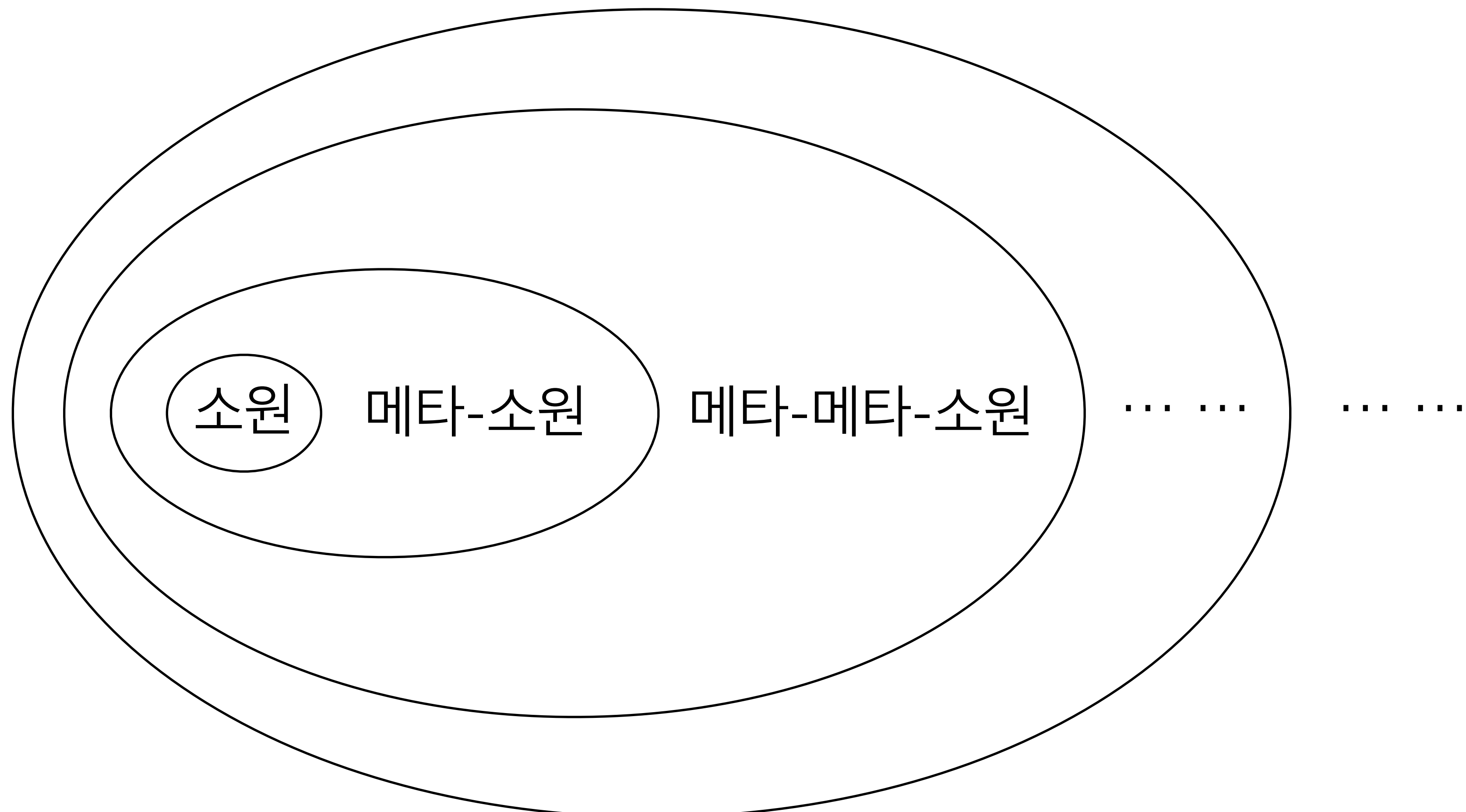
박여성, 안병서 옮김



풀리처 상 및 전미 도서 대상 수상
근대 지성사의 중요한 사상들을 독창적인 방법으로 통합하는 불가사의한 책

소원의 역설

난 내 소원이 이루어지지 않기를 바라네 !



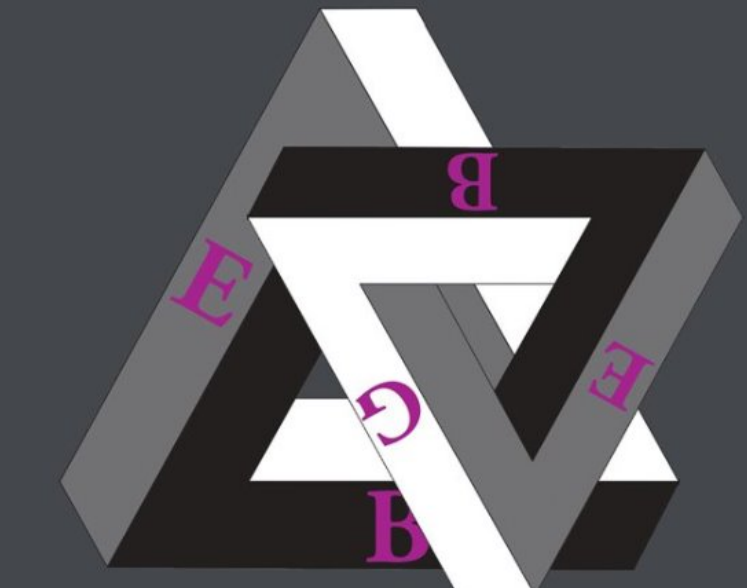
20주년 기념판 “서문” 수록
개역판

고델, 에셔, 바흐

영원한 황금 노끈

더글러스 호프스태터

박여성, 안병서 옮김



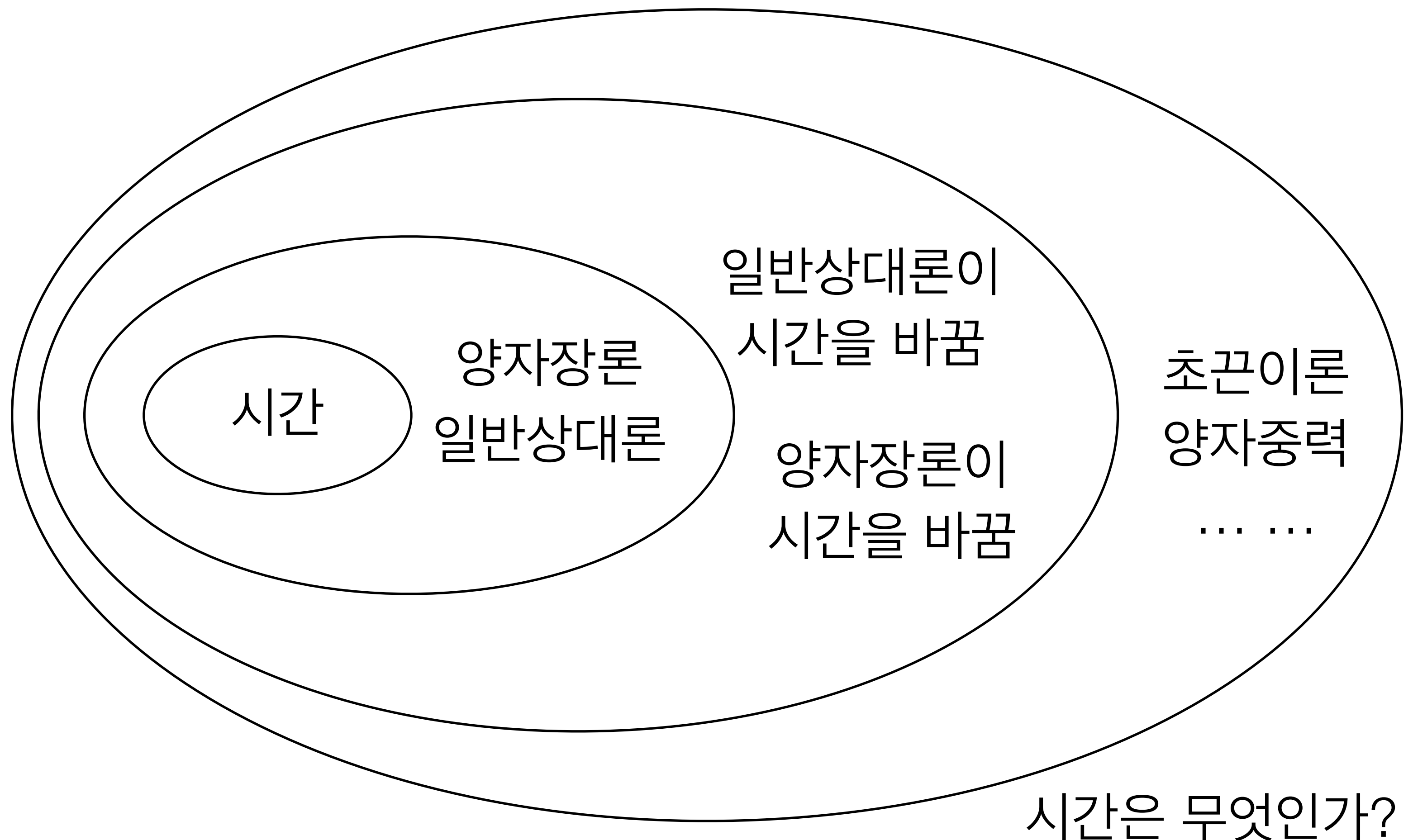
풀리처 상 및 전미 도서 대상 수상
근대 지성사의 중요한 사상을 독창적인 방법으로 통합하는 불가사의한 책



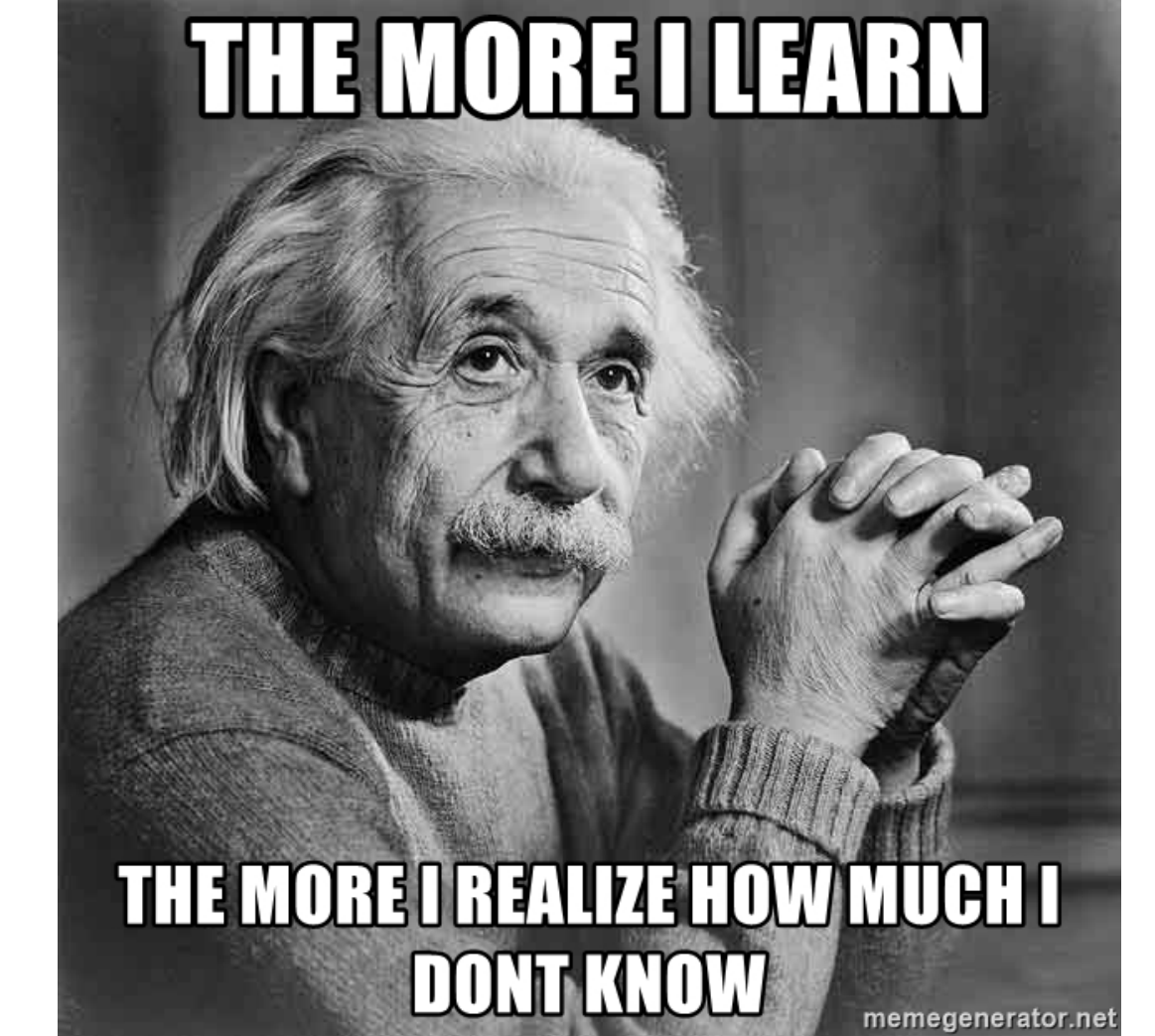
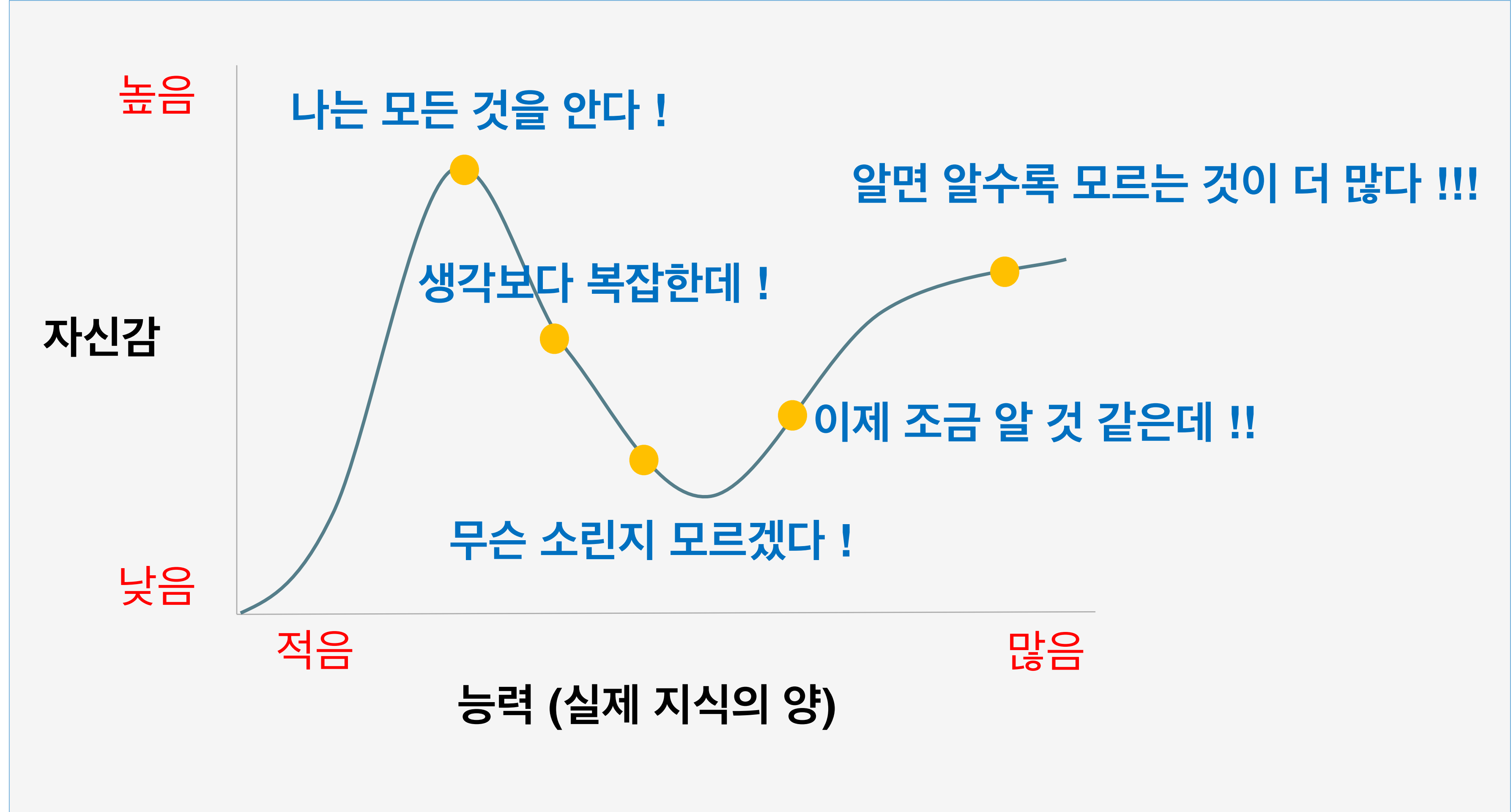
까지

시간의 역설

난 이론이 시간을 설명하기를 바라네 !



더닝-크루거 효과 / Dunning-Kruger Effect



2000년 이그 노벨상 Ig Nobel Prize (심리학)

지식의 섬

휠러 교수 / **블랙홀** 이름 유행시키고 **웜홀** 이름을 지음

“우리는 무지의 바다에 둘러 쌓인 섬에 살고 있다.
지식의 섬이 커질 수록, 무지의 해안선도 증가한다.”

